

UNIVERSIDAD NACIONAL DE INGENIERIA

FACULTAD DE CIENCIAS

Tema:
Final



Apellidos: Moreno Vera
Nombres: Felipe Adrian
Código: 20120354I
Curso: Física Computacional
Codigo Curso: CC063

2016-II

1. Métodos de Runge-Kutta

* Describa el método Runge-Kutta de 2do y 4to orden. Cómo deriva este de la expansión de Taylor, y que ventajas tiene sobre Euler?

Sol:

Euler:

Se sabe que el método de euler proviene de la expansión de Taylor de orden 1, de la siguiente forma:

$$y(x) = y(x_0) + h y'(x_0)$$

Donde: $h = x - x_0$

De donde se deduce que:

$$y'(x_0) = f(x_0, y_0)$$

Que es la función que soluciona la ecuación diferencial de orden 1.

Entonces el método de euler quedaría como:

$$y(x) = y(x_0) + h f(x_0, y_0) \quad \dots(1)$$

Generalizando tenemos:

$$y(x_{i+1}) = y(x_i) + h f(x_i, y_i)$$

2do Orden:

Se basa de la expansión de Taylor de orden 2 de la siguiente forma:

$$y(x) = y(x_0) + h y'(x_0) + \frac{h^2}{2} y''(x_0)$$

Donde: $h = x - x_0$

De lo anterior con el método de euler, podemos hacer que:

$$y(x) = y(x_0) + h \left(y'(x_0) + \frac{h}{2} y''(x_0) \right)$$

Lo cual se podría interpretar como:

$$y(x) = y(x_0) + h \left(y'(x_0) + \frac{h}{2} f(x_0, y_0) \right)$$

Llamemosle a $h y'(x_0) = k_1$, tendríamos:

$$y(x) = y(x_0) + h \left(y'(x_0) + \frac{k_1}{2} \right) \quad \dots(a)$$

De (1) sabemos que $y(x) = y(x_0) + h f(x_0, y_0)$,

entonces si tenemos: $y(x) = y(x_0) + \frac{h}{2} f(x_0, y_0)$, sería como buscar un $x = x_0 + \frac{h}{2}$, que serían los puntos medios de las derivadas.

Por lo que a ecuación anterior sería:

$$y\left(x_0 + \frac{h}{2}\right) = y(x_0) + \frac{h}{2} f(x_0, y_0) \quad \dots(2)$$

Entonces, tomando la ecuación generada en (2) en (a), se obtiene que:

$$y(x) = y(x_0) + h \left(y \left(x_0 + \frac{h}{2} \right) \right),$$

Y esto sería igual a:

$$y(x) = y(x_0) + hf \left(x_0 + \frac{h}{2}, y(x_0) + \frac{h}{2} f(x_0, y_0) \right)$$

$$y(x) = y(x_0) + hf \left(x_0 + \frac{h}{2}, y(x_0) + \frac{h}{2} k_1 \right)$$

Generalizando se obtiene:

$$y(x_{i+1}) = y(x_i) + hf \left(x_i + \frac{h}{2}, y(x_i) + \frac{h}{2} k_1 \right)$$

Donde $k_1 = y'(x_i) = f(x_i, y(x_i))$ y $x_{i+1} = x_i + h$.

Pero también se puede hacer el siguiente método:

$$y(x) = y(x_0) + h y'(x_0) + \frac{h^2}{2} y''(x_0)$$

$$y(x) = y(x_0) + hf(x_0, y_0) + \frac{h^2}{2} y''(x_0) \dots (b)$$

Donde por el método de euler se puede obtener que:

$$y'(x_0) = \frac{(y(x) - y(x_0))}{h}$$

Entonces para la segunda derivada:

$$y''(x_0) = \frac{(y'(x) - y'(x_0))}{h} \dots (3)$$

Reemplazando en (b) obtenemos:

$$y(x) = y(x_0) + hf(x_0, y_0) + \frac{h^2}{2} \left(\frac{(y'(x) - y'(x_0))}{h} \right)$$

Lo que resultaría:

$$y(x) = y(x_0) + hf(x_0, y_0) + \frac{h^2}{2} \left(\frac{(f(x, y(x)) - f(x_0, y_0))}{h} \right)$$

$$y(x) = y(x_0) + \frac{h}{2} f(x_0, y_0) + \frac{h}{2} f(x, y(x))$$

Donde: $x = x_0 + h$ y $y(x) = y(x_0) + hf(x_0, y_0)$.

Además hacemos: $k_1 = hf(x_0, y_0)$ y $k_2 = hf(x, y(x))$

Generalizando se tiene:

$$y_{i+1} = y_i + \frac{h}{2} f(x_i, y_i) + \frac{h}{2} f(x_i + h, y_i + k_1)$$

Donde $y(x_i) = y_i$

Entonces se obtiene:

$$y_{i+1} = y_i + \frac{1}{2} (k_1 + k_2)$$

4to Orden:

Se basa de la expansión de Taylor de orden 4 de la siguiente forma:

$$y(x) = y(x_0) + h y'(x_0) + \frac{h^2}{2} y''(x_0) + \frac{h^3}{6} y'''(x_0) + \frac{h^4}{24} y''''(x_0) \dots (1)$$

Donde: $h = x - x_0$

Procediendo de manera similar al anterior, usando la derivada aproximada de euler, obtenemos:

Para la derivada 2 usando el primer método agrupando:

$$y''(x_0) = \frac{(y'(x) - y'(x_0))}{h}$$

Reemplazando en (1) obtenemos:

$$y(x) = y(x_0) + h \left(y'(x_0) + \frac{h}{2} y''(x) \right) + h \left(\frac{h^2}{6} y'''(x_0) + \frac{h^3}{24} y''''(x_0) \right)$$

Para la derivada 4 usando el primer método agrupando:

$$y''''(x_0) = \frac{(y'''(x) - y'''(x_0))}{h}$$

Al proceder de manera similar que el método de orden 2, simplificando cálculos Obtenemos lo siguiente:

$$y(x) = y_0 + \frac{1}{6} \left(hf(x_0, y_0) + 2hf\left(x_0 + \frac{h}{2}, y_0 + \frac{hf(x_0, y_0)}{2}\right) + \dots \right) \\ \frac{1}{6} \left(\dots + 2hf\left(x_0 + \frac{h}{2}, y_0 + \frac{hf\left(x_0 + \frac{h}{2}, y_0 + \frac{hf(x_0, y_0)}{2}\right)}{2}\right) + hf\left(x_0 + h, y_0 + hf\left(x_0 + \frac{h}{2}, y_0 + \frac{hf\left(x_0 + \frac{h}{2}, y_0 + \frac{hf(x_0, y_0)}{2}\right)}{2}\right)\right) \right)$$

Entonces generalizando, hacemos:

$$k_1 = hf(x_i, y_i) \\ k_2 = hf\left(x_i + \frac{h}{2}, y_i + \frac{k_1}{2}\right) \\ k_3 = hf\left(x_i + \frac{h}{2}, y_i + \frac{k_2}{2}\right) \\ k_4 = hf(x_i + h, y_i + k_3)$$

Entonces Reemplazando en la ecuación original obtenemos:

$$y_{i+1} = y_i + \frac{1}{6}(k_1 + 2k_2 + 2k_3 + k_4)$$

NOTA:

Se puede observar que los métodos de runge-kutta tienen un error local de orden similar al orden de expansión de Taylor.

Por lo cual, mejora el método de Euler, pero el coste computacional es mayor, debido a que evalúa la función un número de veces mayor o igual al orden de expansión.

Entonces, si la función a evaluar es más compleja, el costo computacional será mayor, pero siempre se tendrá por seguro que los resultados tendrán un error mínimo.

* Muestre 3 aplicaciones en la ciencia o ingeniería de utilicen las ventajas de este método (consulte fuentes externas).

Sol:

Aplicaciones en Sistemas de Control:

Para modelar sistemas de control, siempre se necesita verificar y estimar los valores descritos según el modelo matemático que modela ese sistema, por lo cual métodos de Runge-Kutta para obtener y aproximar valores futuros basados en estados iniciales son muy buenos, debido a que se deben tener un error mínimo en dichos sistemas.

Aplicaciones en Ingeniería Civil:

Para modelar casos de estructuras, movimiento de fluidos a través de tuberías, el comportamiento de edificaciones al estar sometidos a terremotos, para obtener índices y demás factores que determinar que una estructuración puede resistir movimientos, flujo o cualquier tipo de fenómeno físico, se necesita obtener valores de control, los cuales pueden ser estimados utilizando método de Runge-Kutta para la solución de dichos sistemas, los cuales tendrán errores mínimos.

Aplicaciones en Economía:

Para modelar sistemas y problemas de oferta-demanda-recesión, se genera una ecuación o un sistema de ecuaciones diferenciales, los cuales al ser cruciales mostrando el comportamiento del mercado en base a factores externos, se necesita aproximar valores con errores mínimos, por los cuales el método de Runge-Kutta es muy útil.

2. Dinámica poblacional – Crecimiento exponencial

r es la tasa de crecimiento y K es la capacidad poblacional

Método de Malthus:

Se tiene la ecuación diferencial:

$$\frac{dx}{dt} = r x$$

Resolviendo por variable separables:

$$\int \frac{dx}{x} = \int r dt$$
$$\ln(|x|) = rt + C$$

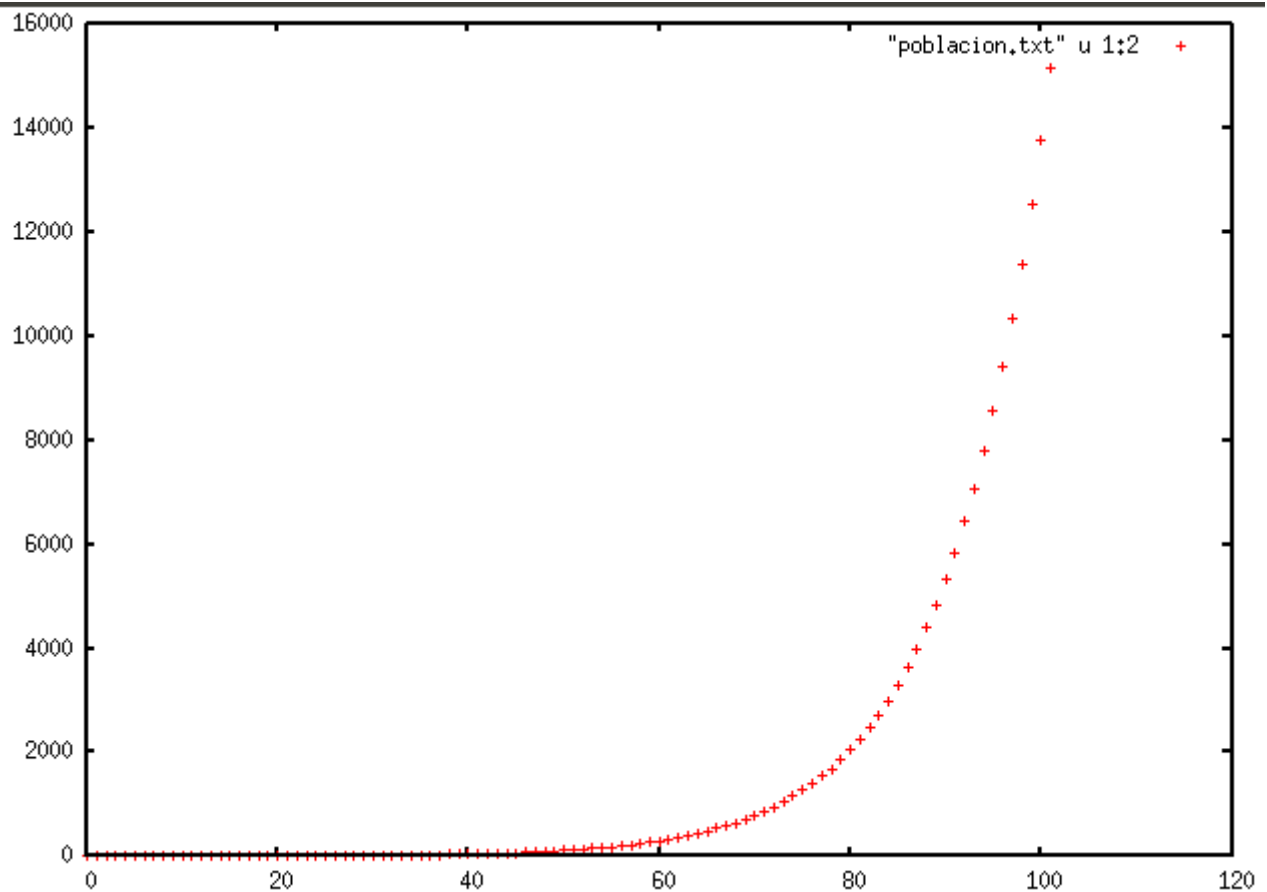
Usando exponencial:

$$x(t) = C_0 e^{rt}$$

Con $r = 1$, calculamos $C_0 = 1$:

$$x(t) = e^{t/10}$$

Usando el programa problema02.c, se obtiene:



Se ve que la población incrementa de manera exponencial sin limite definido

En el problema se puede deducir que el factor de tasa de crecimiento r es 1 y además se tiene como valor inicial a 1.

El programa problema02.c puede recibir 3 parámetros.

El primero es NSTEP: número de pasos en el intervalo.

El segundo es x_1 : cota mínima del intervalo de integración.

El tercero es x_2 : cota superior del intervalo de integración.

Ejemplos de ejecución:

```
bash problema02.sh -- ejecuta con NSTEP = 10,  $x_1=0.0$  y  $x_2=1.0$  por defecto.
```

```
bash problema02.sh 100 -- ejecuta con NSTEP = 100,  $x_1=0.0$ ,  $x_2=1.0$  por defecto.
```

```
bash problema02.sh 100 2.2 4.5 --- ejecuta con NSTEP = 100 y  $x_1=2.2$ ,  $x_2=4.5$  por defecto.
```

Entonces resolviendo la pregunta 2:

* Utilice el código adjunto para integrar el problema con el método Runge-Kutta de orden 4. Obtenga y grafique la solución aproximada, así como la solución exacta.

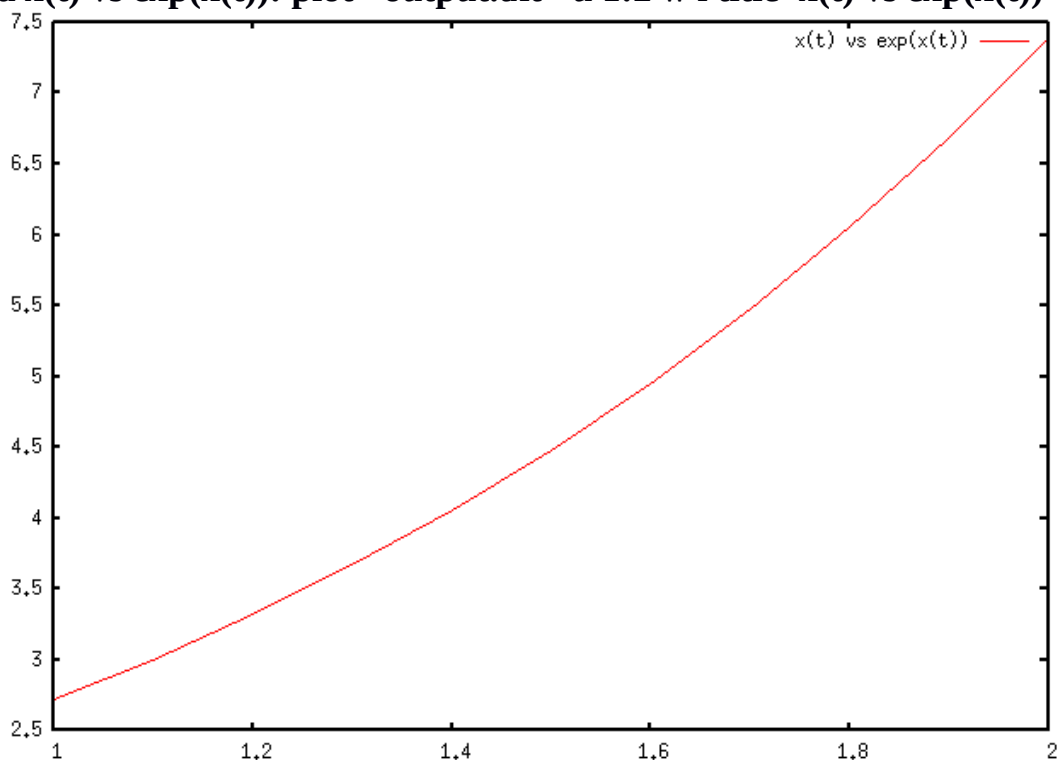
Aplique 4 intervalos de integración h , variando NSTEP=10, 100, 500, 1000

Sol:

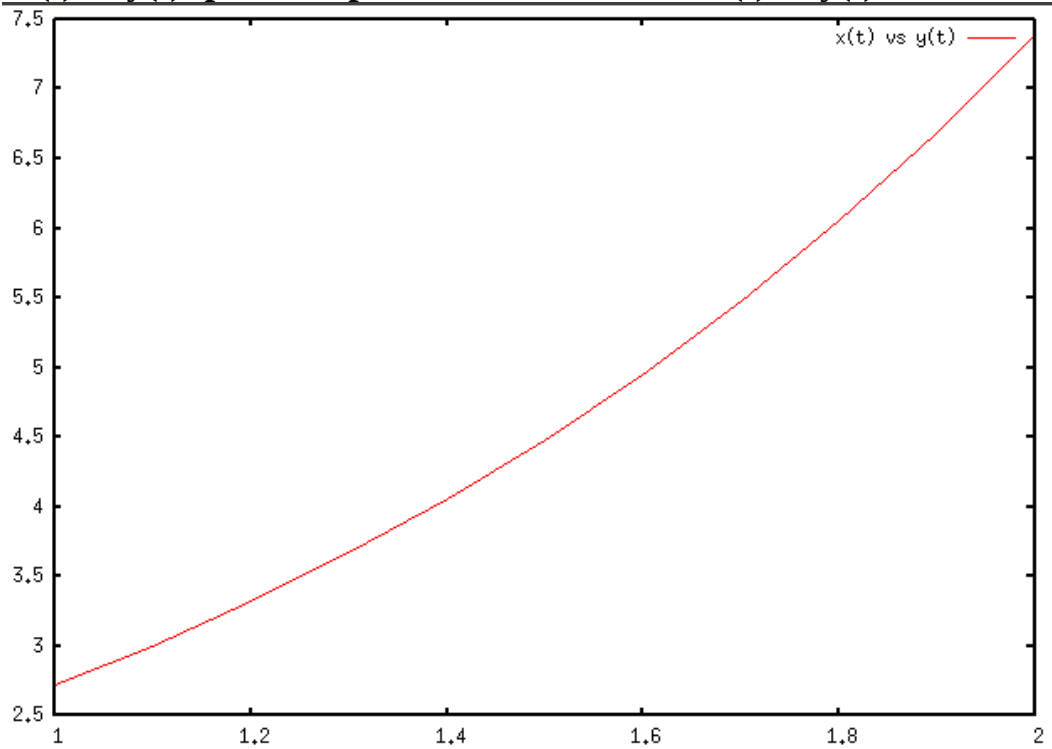
1) Ejecutando para NSTEP=10, $x_1=1.0$ y $x_2=2.0$

```
bash problema02.sh 10 1.0 2.0
```

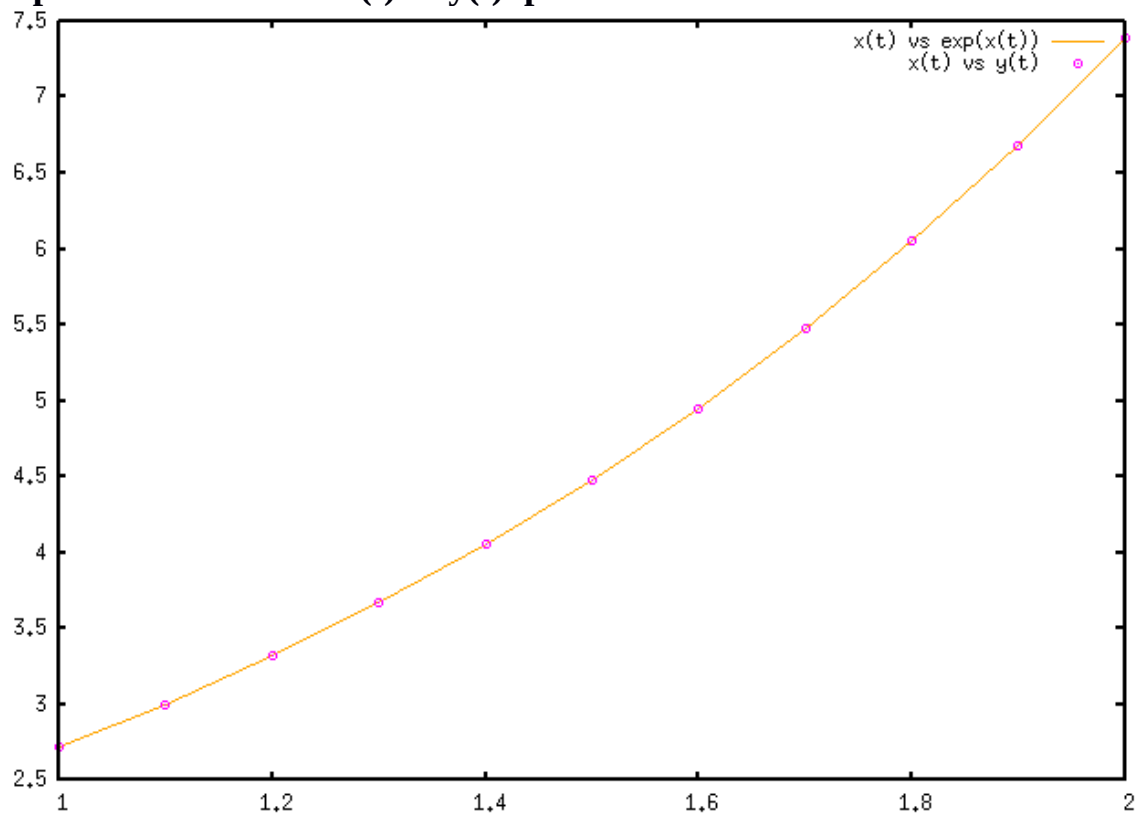
Gráfica $x(t)$ vs $\exp(x(t))$: plot "output.txt" u 1:2 w l title 'x(t) vs exp(x(t))'



Gráfica $x(t)$ vs $y(t)$: plot "output.txt" u 1:3 w l title ' $x(t)$ vs $y(t)$ '



Gráfica $\exp(x(t))$ vs $y(t)$: plot "output.txt" u 1:2 w l title ' $x(t)$ vs $\exp(x(t))$ ' lc 7, "output.txt" u 1:3 title ' $x(t)$ vs $y(t)$ ' pt 6 lc 4

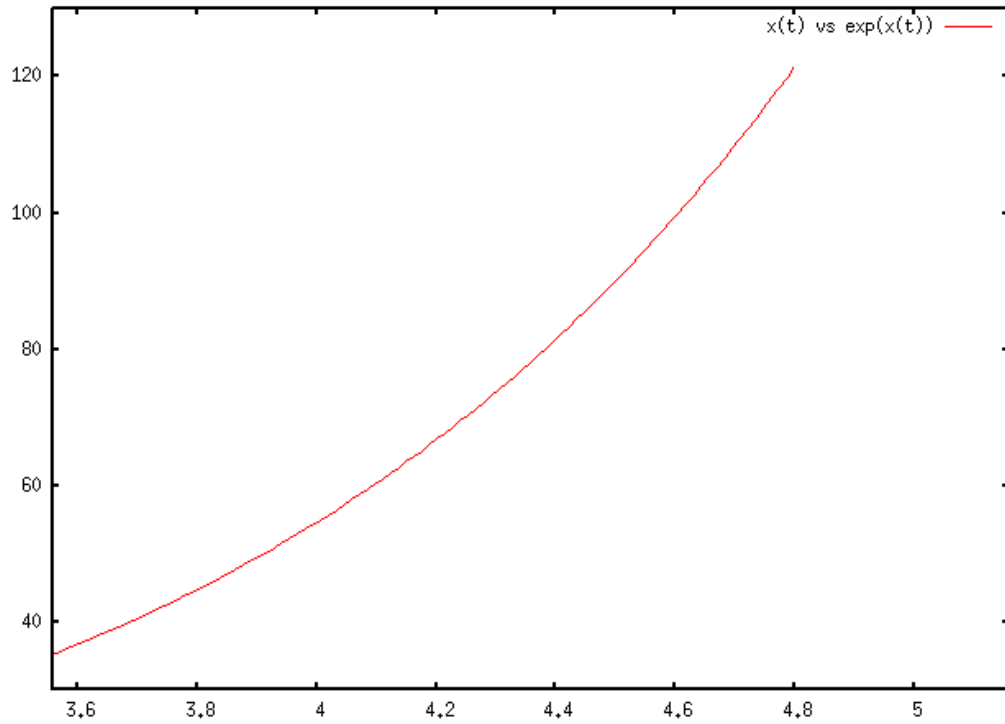


Debido a que los errores relativos eran muy pequeños (por no decir 0 o 10^{-9}) por lo que no se puede observar bien (ya que aparece una línea) se decidió graficar los 2 al mismo tiempo.

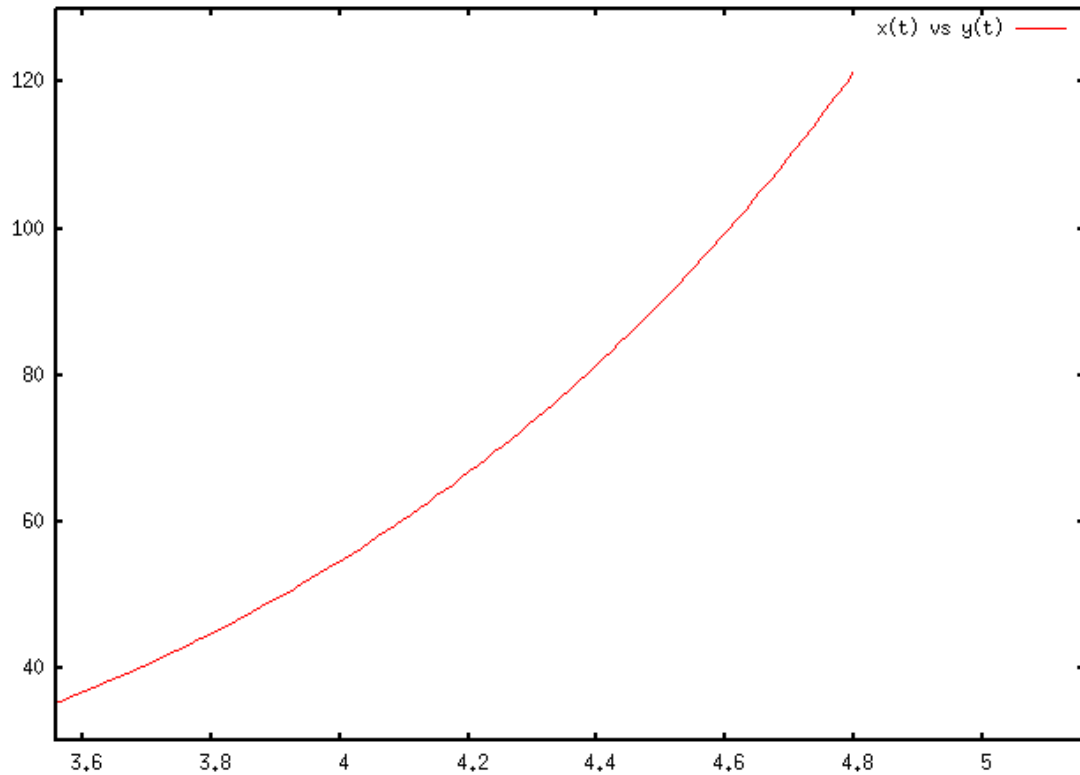
2) Ejecutando para NSTEP=100, $x_1=3.5$ y $x_2=4.8$

`bash problema02.sh 100 3.5 4.8`

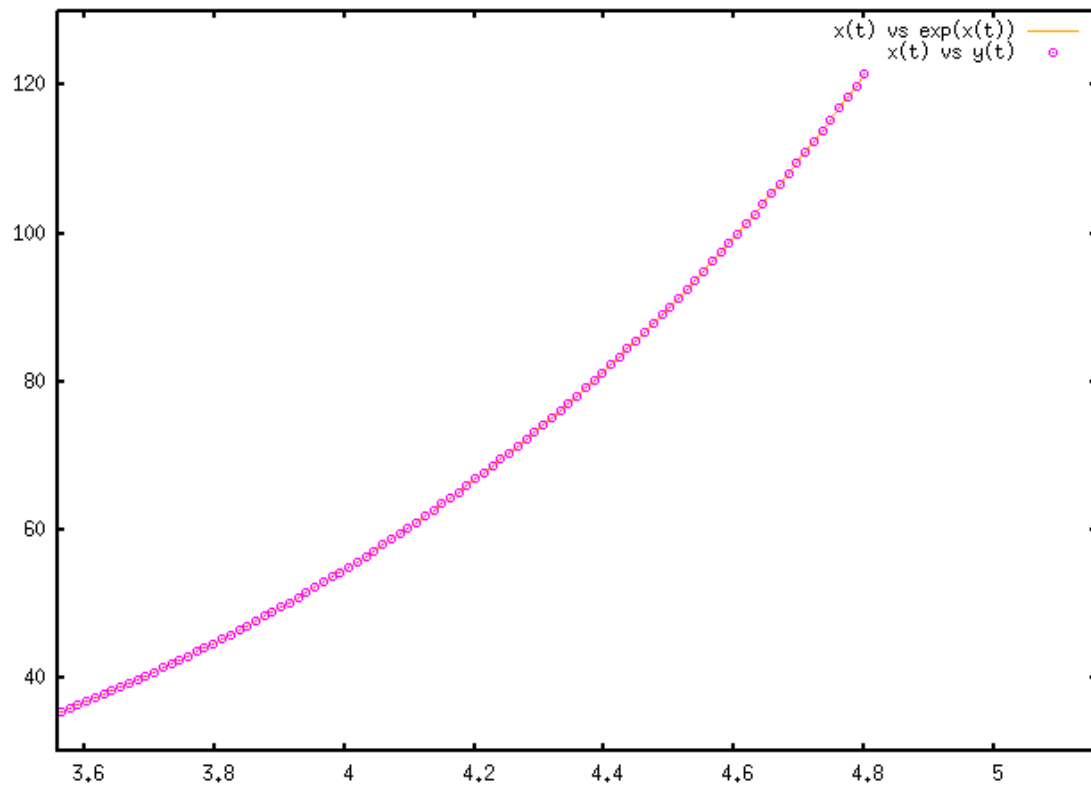
Gráfica $x(t)$ vs $\exp(x(t))$: `plot "output.txt" u 1:2 w l title 'x(t) vs exp(x(t))'`



Gráfica $x(t)$ vs $y(t)$: `plot "output.txt" u 1:3 w l title 'x(t) vs y(t)'`



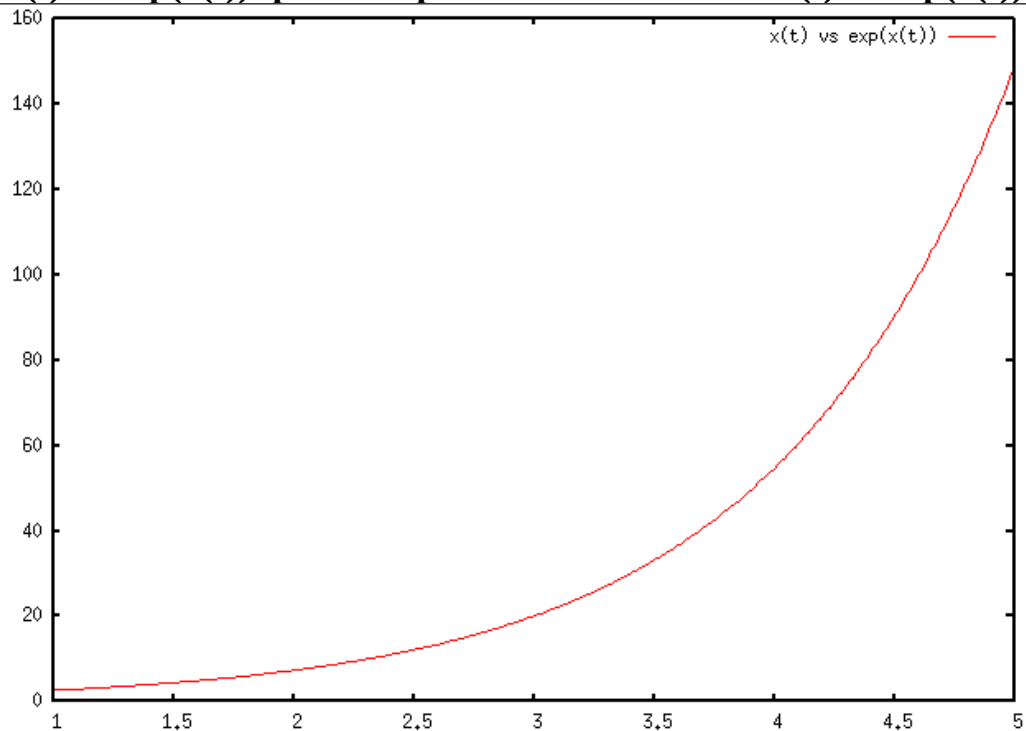
Gráfica $\exp(x(t))$ vs $y(t)$: plot "output.txt" u 1:2 w l title 'x(t) vs exp(x(t))' lc 7,"output.txt" u 1:3 title 'x(t) vs y(t)' pt 6 lc 4



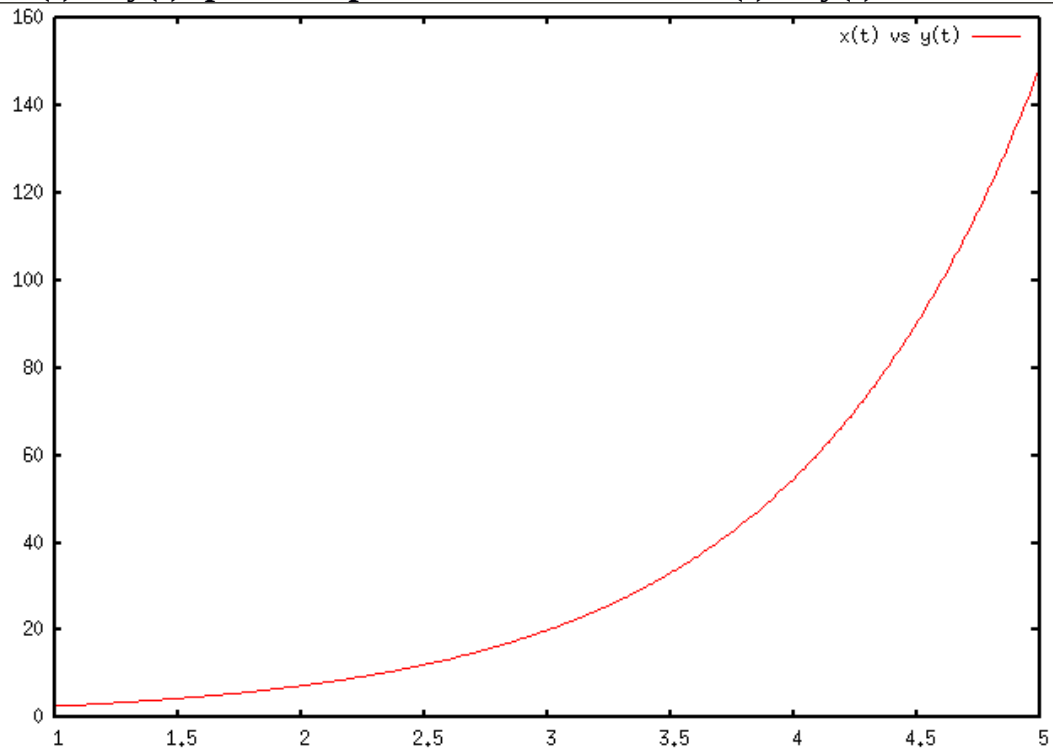
3) Ejecutando para NSTEP=500, $x_1=1.0$ y $x_2=5.0$

bash problema02.sh 500 1 5

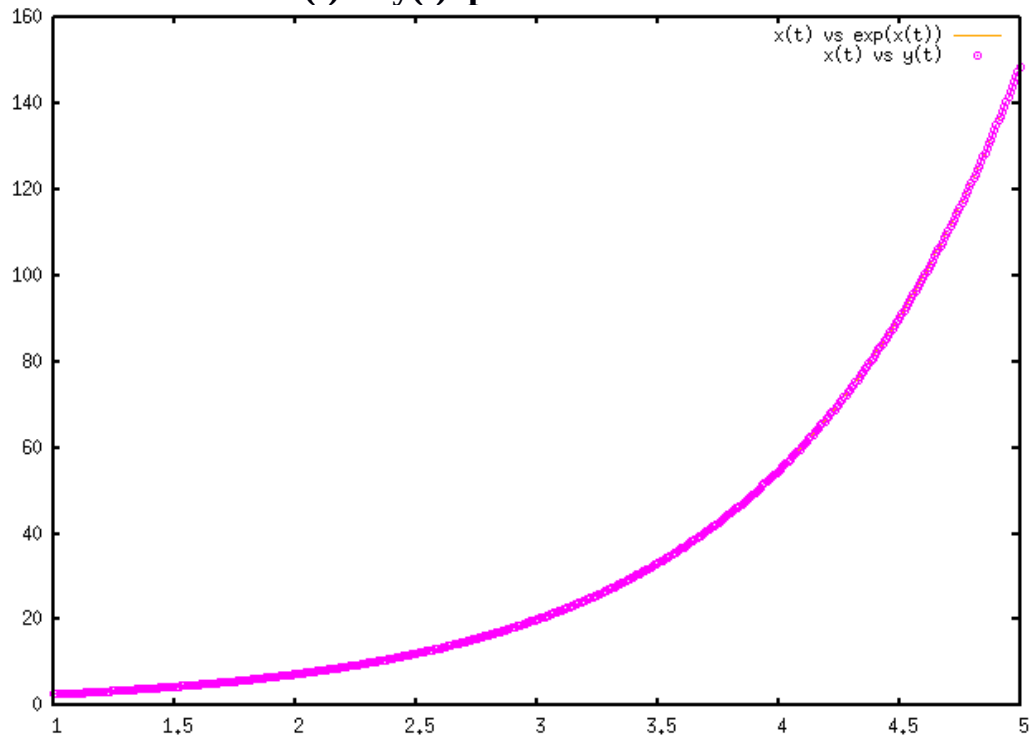
Gráfica $x(t)$ vs $\exp(x(t))$: plot "output.txt" u 1:2 w l title 'x(t) vs exp(x(t))'



Gráfica $x(t)$ vs $y(t)$: plot "output.txt" u 1:3 w l title ' $x(t)$ vs $y(t)$ '



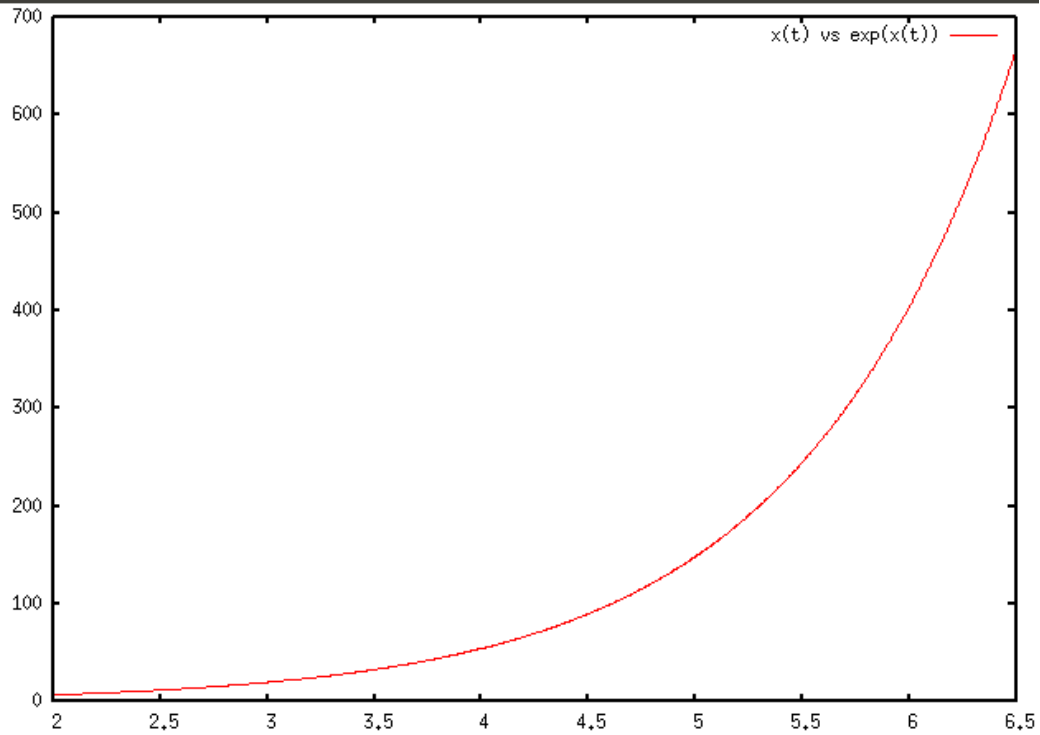
Gráfica $\exp(x(t))$ vs $y(t)$: plot "output.txt" u 1:2 w l title ' $x(t)$ vs $\exp(x(t))$ ' lc 7,"output.txt" u 1:3 title ' $x(t)$ vs $y(t)$ ' pt 6 lc 4



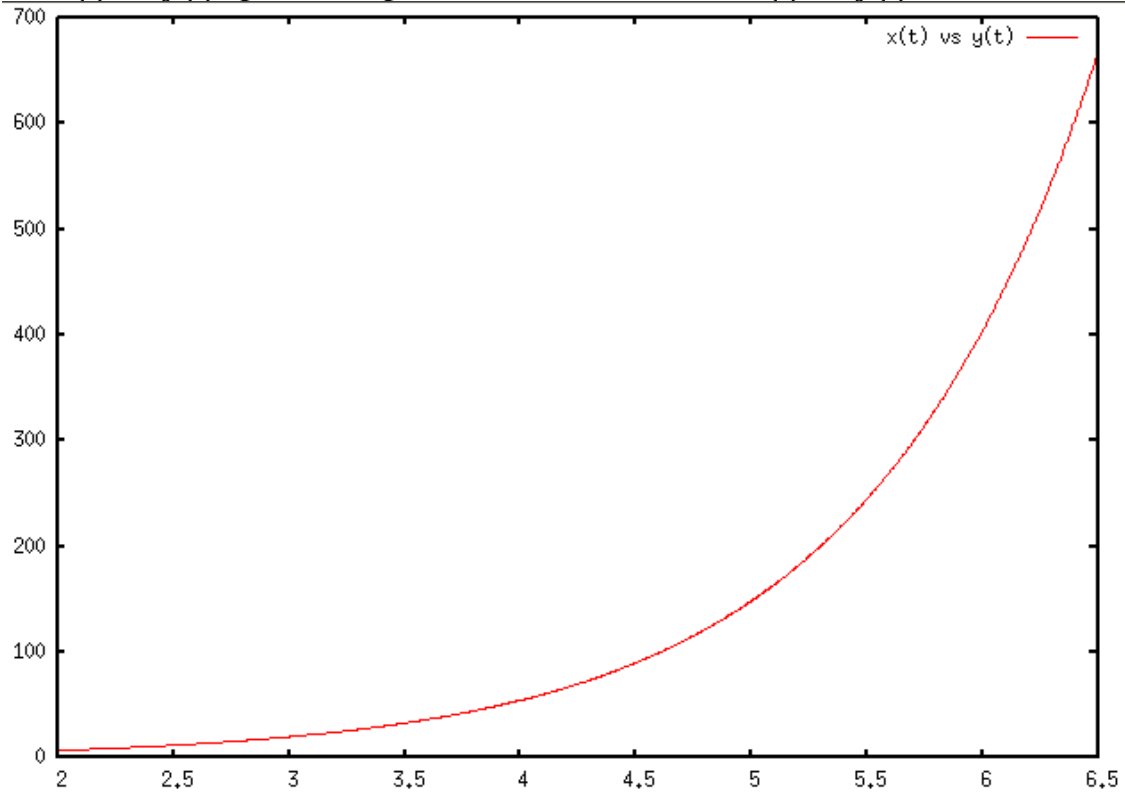
4) Ejecutando para NSTEP=1000, $x_1=2.0$ y $x_2=6.5$

`bash problema02.sh 1000 2 6.5`

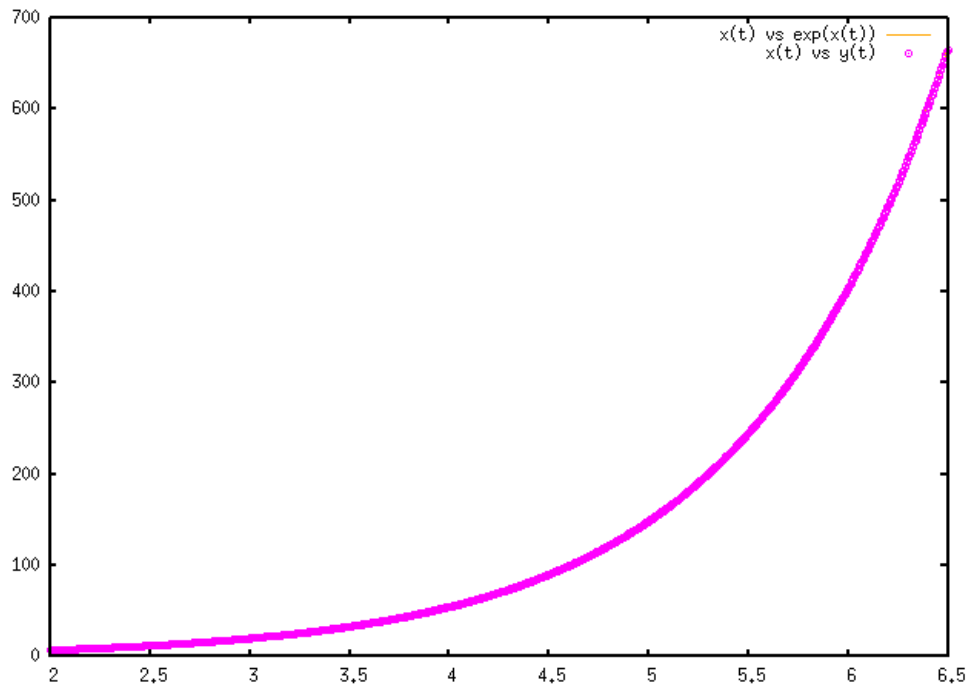
Gráfica $x(t)$ vs $\exp(x(t))$: `plot "output.txt" u 1:2 w l title 'x(t) vs exp(x(t))'`



Gráfica $x(t)$ vs $y(t)$: `plot "output.txt" u 1:3 w l title 'x(t) vs y(t)'`



plot "output.txt" u 1:2 w l title 'x(t) vs exp(x(t))' lc 7,"output.txt" u 1:3 title 'x(t) vs y(t)' pt 6 lc 4



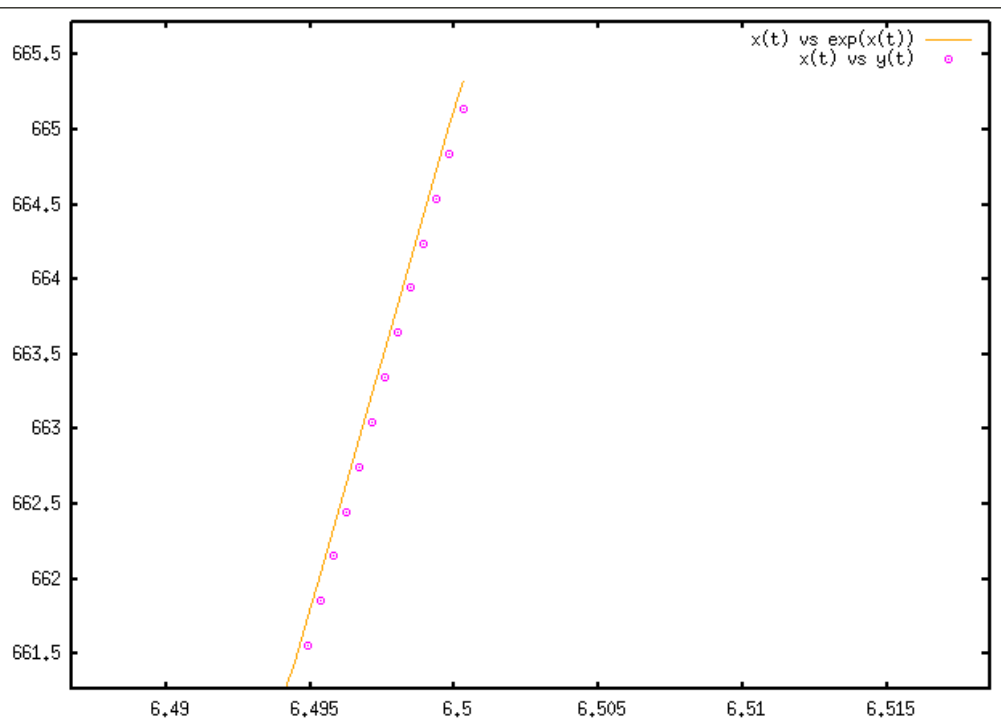
* Calcule y grafique en cada caso el error relativo $[N(t) - N(a)]/N(t)$, donde $N(t)$ es la solución exacta, y $N(a)$ es la aproximada. Cómo interpreta los resultados ?

Sol:

Se observa del programa que los errores relativos son muy próximos a 0. Por lo que el método de Runge-Kutta es demasiado preciso (mucho más que el método de Euler, debido a que Runge-Kutta tiene convergencia de orden 4).

Viendo los resultados anteriores, se observa un error mínimo. Pero conforme aumentamos NSTEP y cambiando x_1 y x_2 , como por ejemplo:

bash problema02.sh 1000 2 6.5 , se obtiene un error de:

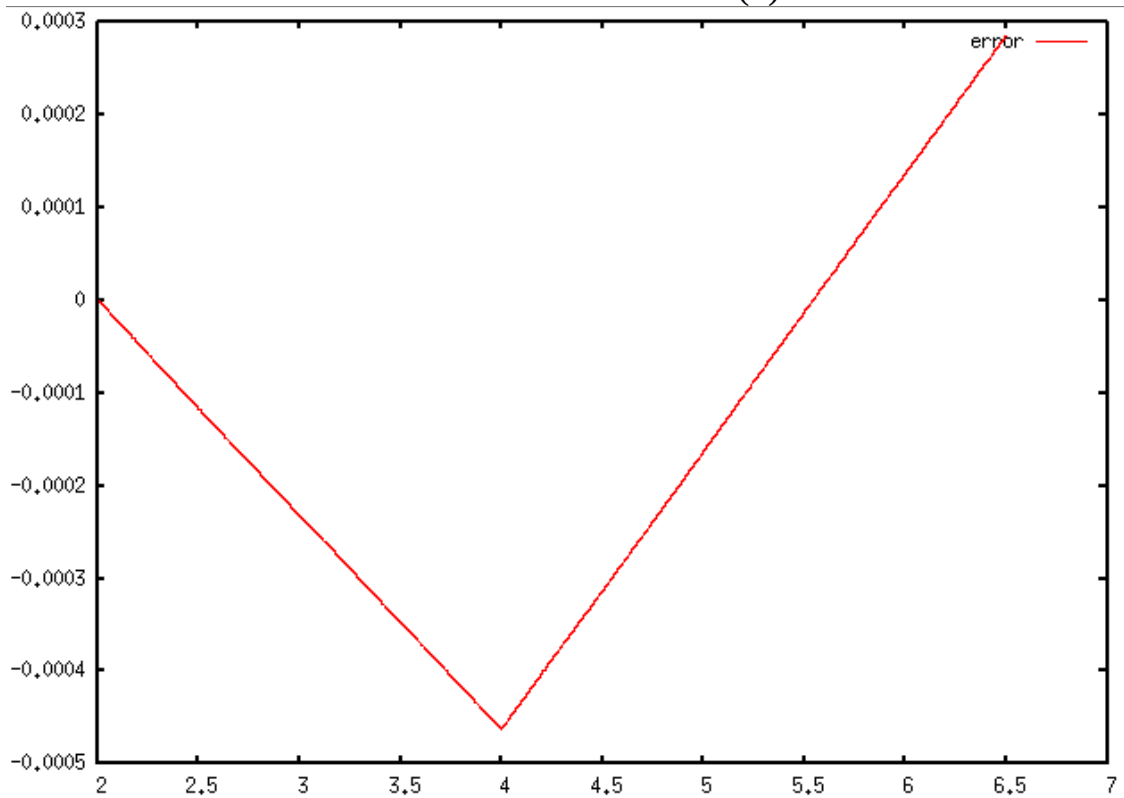


Se observa claramente que es un error mínimo.

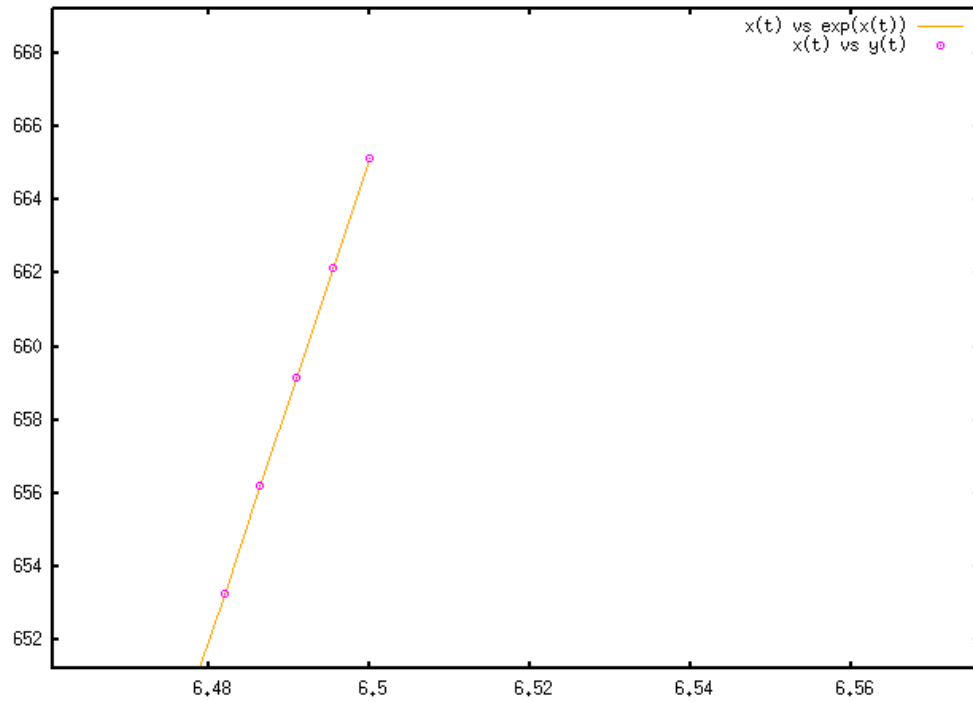
Ahora ejecutando el mismo intervalo pero diferente número de steps:

bash problema02.sh 10000 2 6.5

Se obtiene tomando como el error en funcion de los x (h).



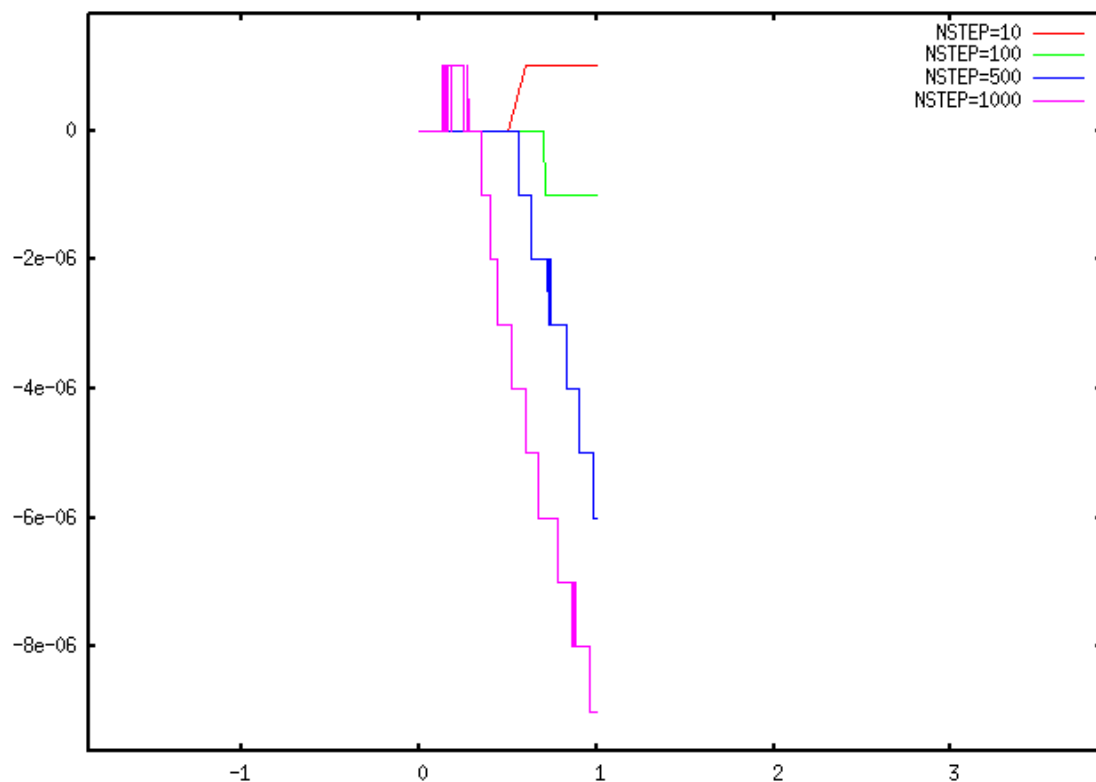
El cual puede expresarse como:



* Grafique el error como función de h para $t = 1$ para los valores de NSTEP y analice los resultados.

Sol:

Grafica de errores: plot "output_10.txt" u 1:4 title "NSTEP=10" w l, "output_100.txt" u 1:4 title "NSTEP=100" w l, "output_500.txt" u 1:4 title "NSTEP=500" w l, "output_1000.txt" u 1:4 title "NSTEP=1000" w l



NOTA:

Se puede observar claramente que conforme se precisa un mayor número de NSTEPS, el error va disminuyendo. Por lo que a mayor NSTEPS, requerirá un mayor coste computacional, pero se tendrá un error relativo que será el menor posible.

3. Problema de los 3 Cuerpos

* Formule el problema analíticamente para $y_0 = f(y, t)$. Aquí $f(y, t)$ no depende explícitamente del tiempo (t), y y y y_0 son vectores de seis dimensiones, que contienen la velocidad y posiciones de los 3 cuerpos. Asuma el movimiento en un plano.

Sol:

Planteamos la problemática del sistema de 3 cuerpos.

Suponemos que M_1 está en el origen de coordenadas, M_2 está a una distancia $(d, 0)$ de M_1 , M_3 está a una distancia $(0, b)$ de M_1 y tenemos una tercera partícula (m) que se encuentra en (x, y)

Si analizamos partícula a partícula de manera individual, se tiene que interactúa de 1 a 2 como se muestra:

Se tendrían ecuaciones como las siguientes si tomamos M_3 como referencia:

$$F_1 = G \frac{M_1 M_3}{r_1^2}, \quad F_2 = G \frac{M_2 M_3}{r_2^2}.$$

Donde: $r_1 = \sqrt{x^2 + y^2}$, $r_2 = \sqrt{(x-d)^2 + y^2}$.

Descomponiendo las fuerzas, se obtienen ecuaciones de movimiento de la partícula de masa M_3 :

$$M_3 \frac{d^2 x}{dt^2} = -F_1 \frac{x}{r_1} - F_2 \frac{x-d}{r_2} \quad \text{y} \quad M_3 \frac{d^2 y}{dt^2} = -F_1 \frac{y}{r_1} - F_2 \frac{y}{r_2},$$

Nos determinan ecuaciones diferenciales:

$$\frac{d^2 x}{dt^2} = -\left(\frac{G M_1}{(x^2 + y^2)^{3/2}} \right) x - \left(\frac{G M_2}{((x-d)^2 + y^2)^{3/2}} \right) (x-d), \quad \frac{d^2 y}{dt^2} = -\left(\frac{G M_1}{(x^2 + y^2)^{3/2}} \right) y - \left(\frac{G M_2}{((x-d)^2 + y^2)^{3/2}} \right) y$$

Donde $(y), (x-d)$ son las distancias que separan las partículas (por ser un triángulo rectángulo).

Entonces se deduce que estas ecuaciones se resuelven por procedimientos numéricos con las condiciones iniciales siguientes: En el instante $t=0$, la partícula se encuentra en la posición (x_0, y_0) y las componentes de su velocidad inicial son, (v_{0x}, v_{0y}) .

* Utilice el código para resolver el problema con el método RungeKutta 4 (este utiliza librerías de Numerical Recipes), para $t=0$ hasta que el sistema se separe (los sistemas de 3 cuerpos son inestables). Genere una salida cuando dos de los cuerpos estén a una distancia mínima. Utilice 3 distintos intervalos de integración $h = 0.1$, $h = 0.01$, y $h = 0.001$ y grafique las órbitas y las distancias mínimas (escala logarítmica) en función del tiempo (escala lineal), así como la energía total del sistema en función del tiempo. Comente la calidad de la solución obtenida.

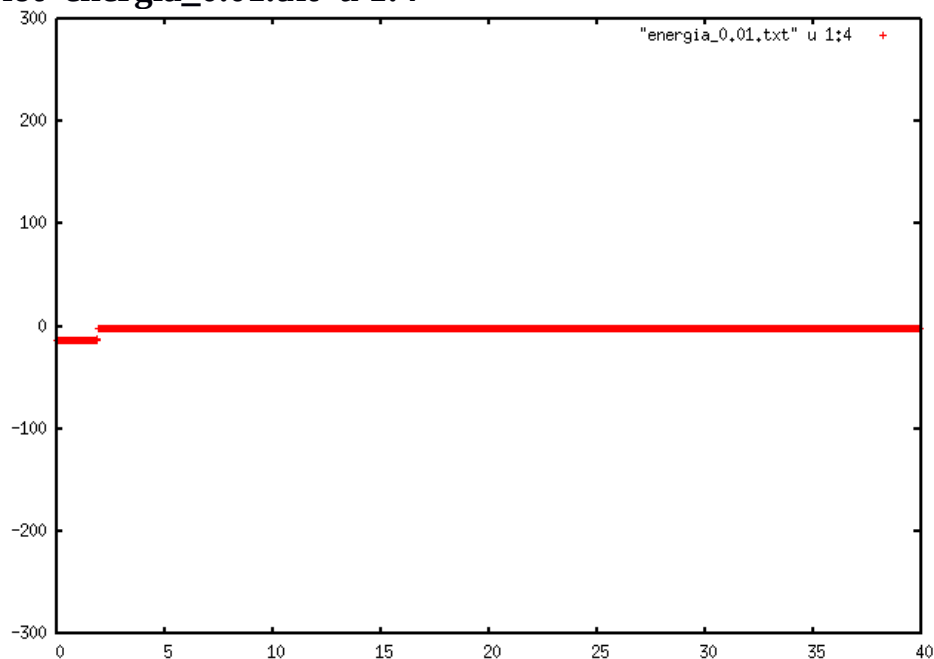
Sol:

Ejecutando los 3 intervalos ...

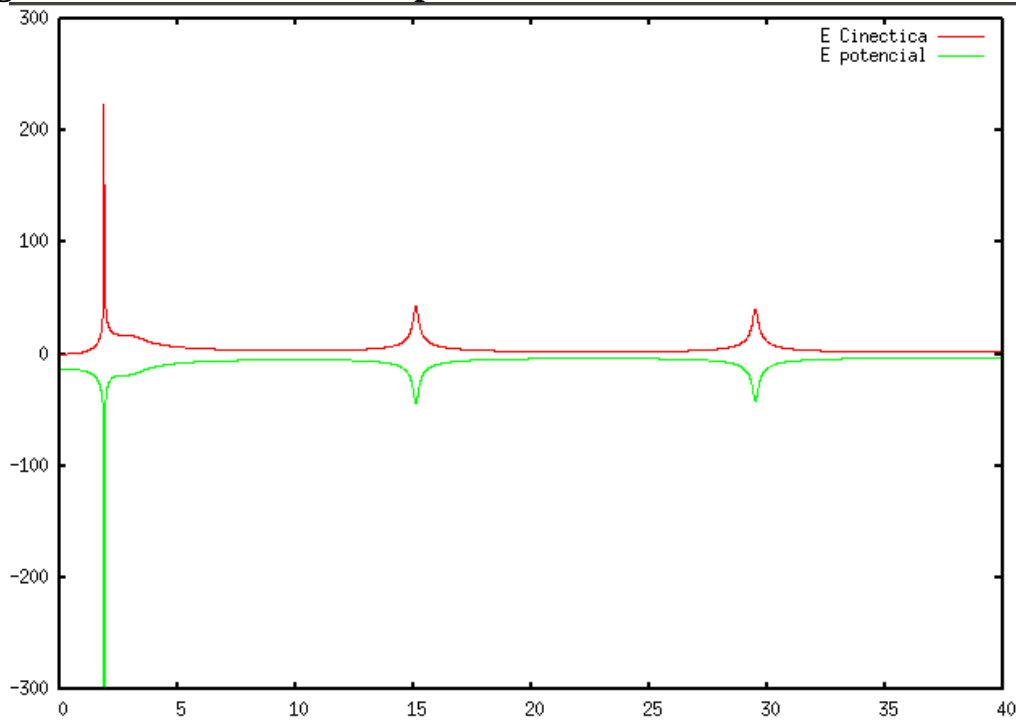
```
jenazad@jbot:~/Downloads/FC-Final/problema03$ ./problema03
E Total: -1.51885
Dmin: 0.0258535
jenazad@jbot:~/Downloads/FC-Final/problema03$ ./problema03 0.1
E Total: 149.586
Dmin: 0.150493
jenazad@jbot:~/Downloads/FC-Final/problema03$ ./problema03 0.001
E Total: 5355.95
Dmin: 0.00562436
```

Gráficas para $h = 0.01$ (po defecto, si ejecutas h será 0.01)

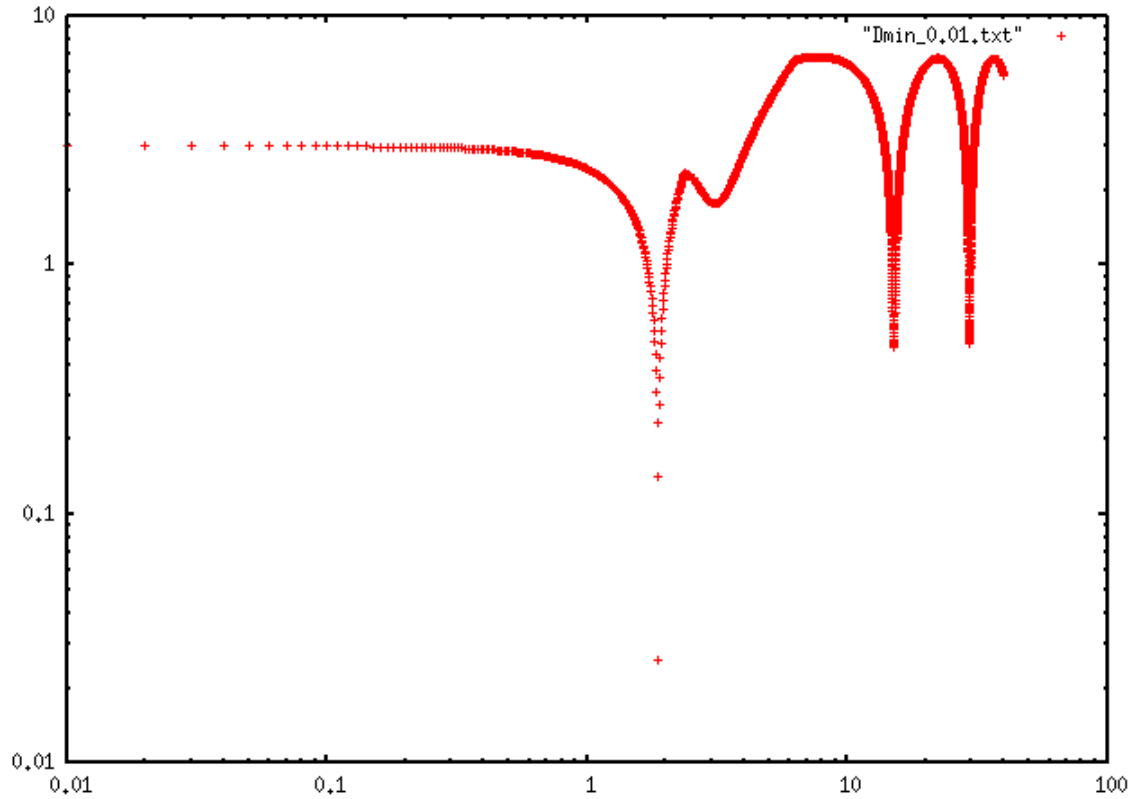
Energía: plot 'energia_0.01.txt' u 1:4



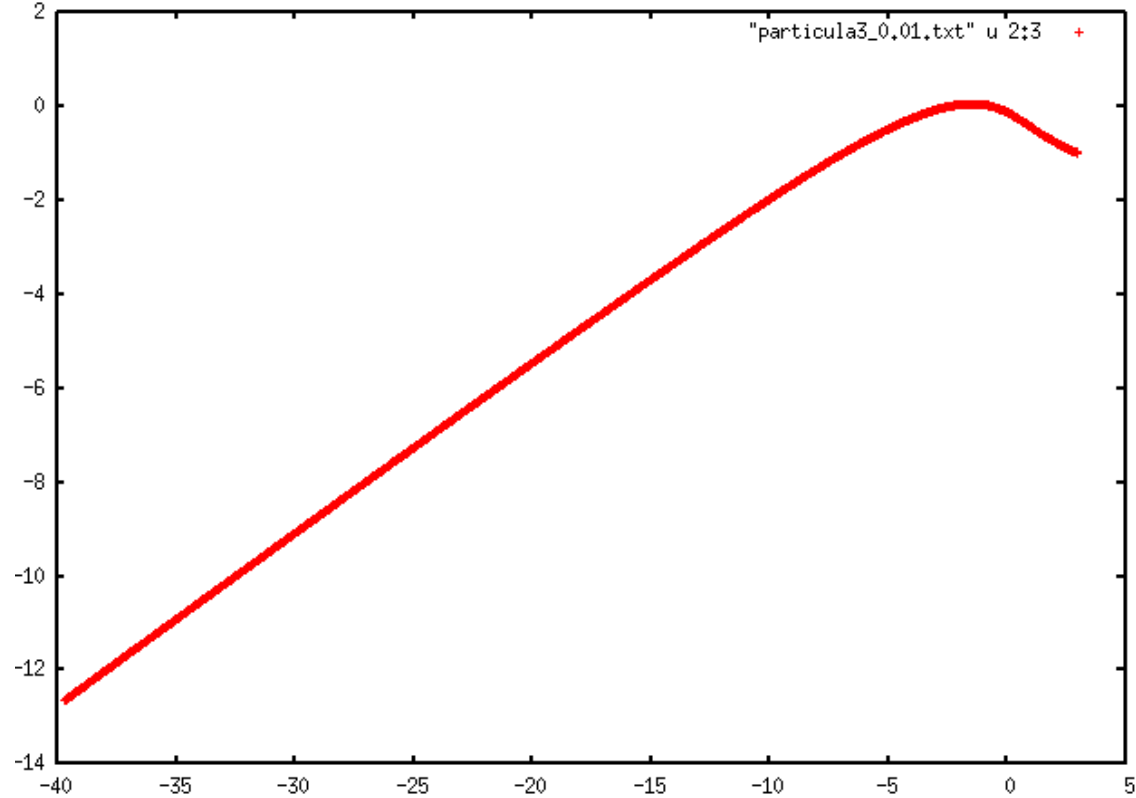
Energia Potencial vs Cinetica: plot "energia_0.01.txt" u 1:2 title 'E Cinetica' w l, "energia_0.01.txt" u 1:3 title 'E potencial' w l



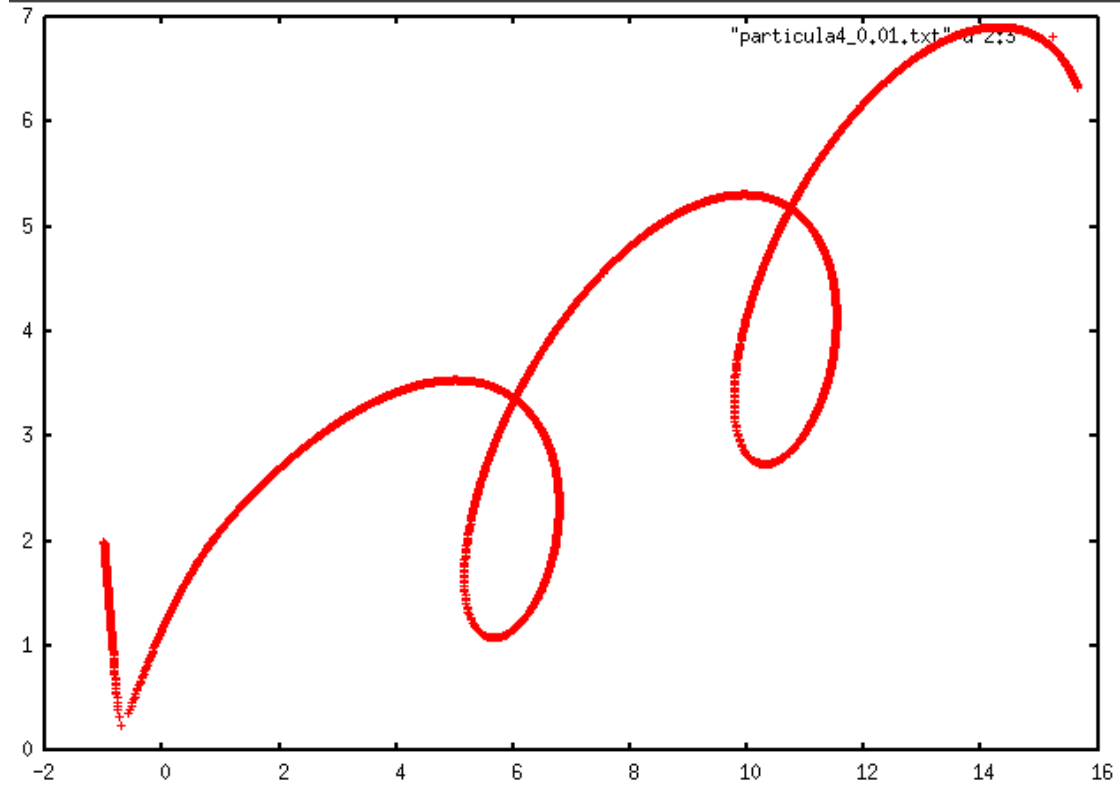
Distancia mínima:



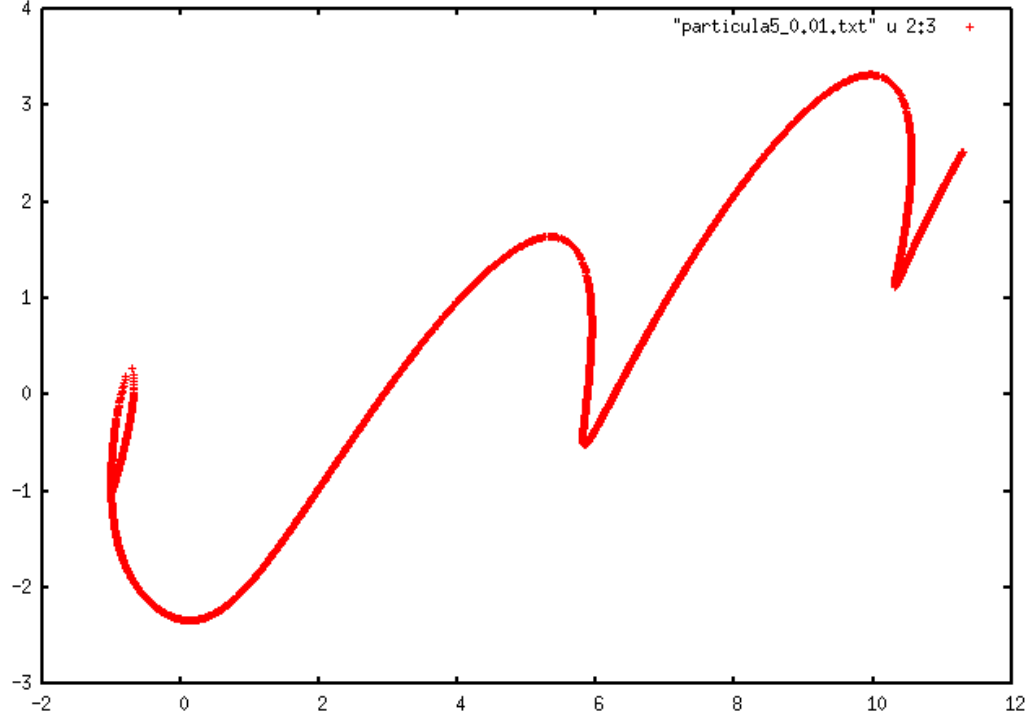
Orbita partícula 3



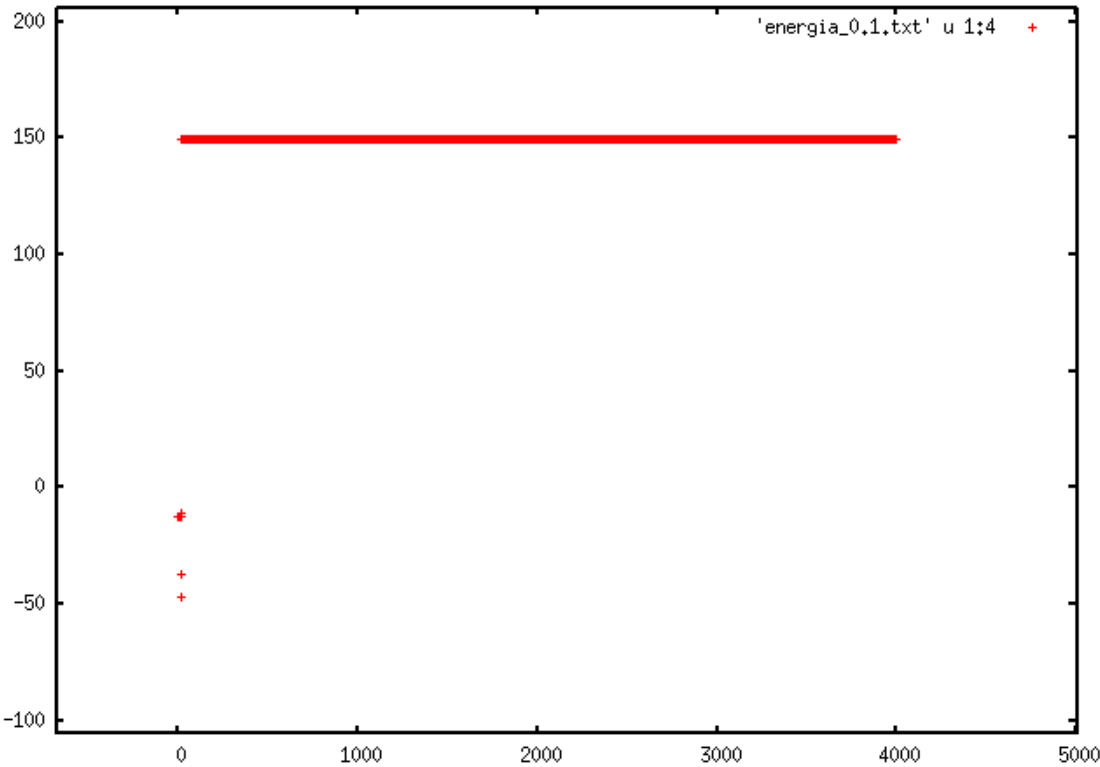
Orbita partícula 4



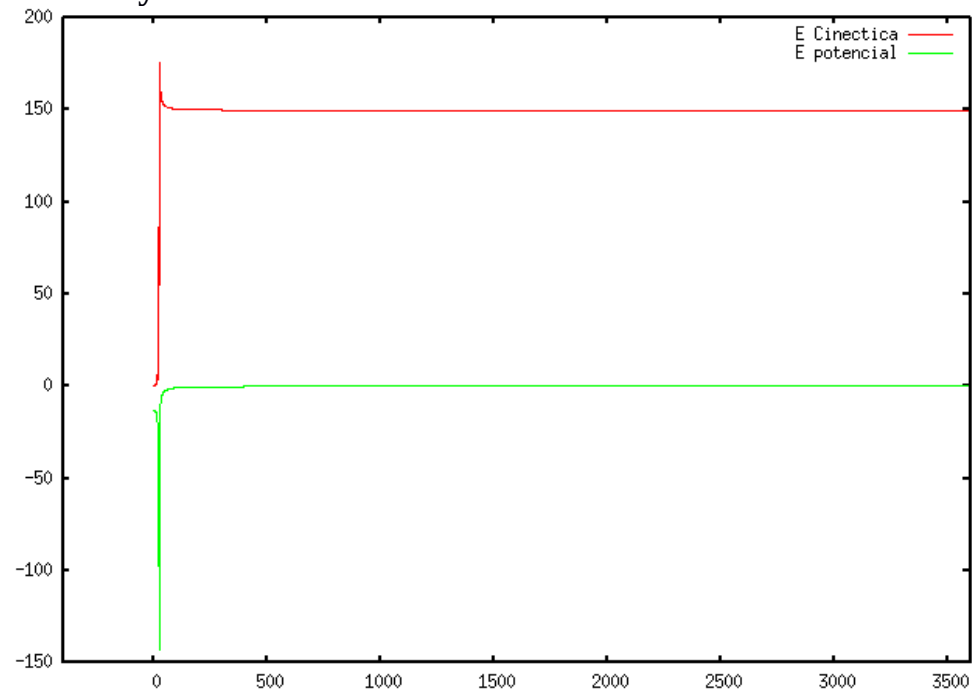
Orbita partícula 5



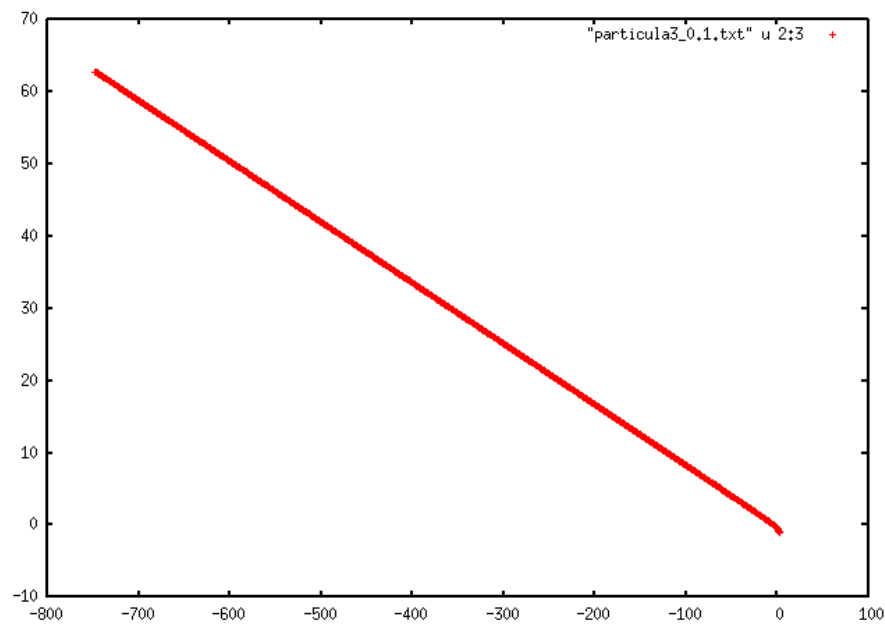
Gráficas para $h = 0.1$
Energía Total:



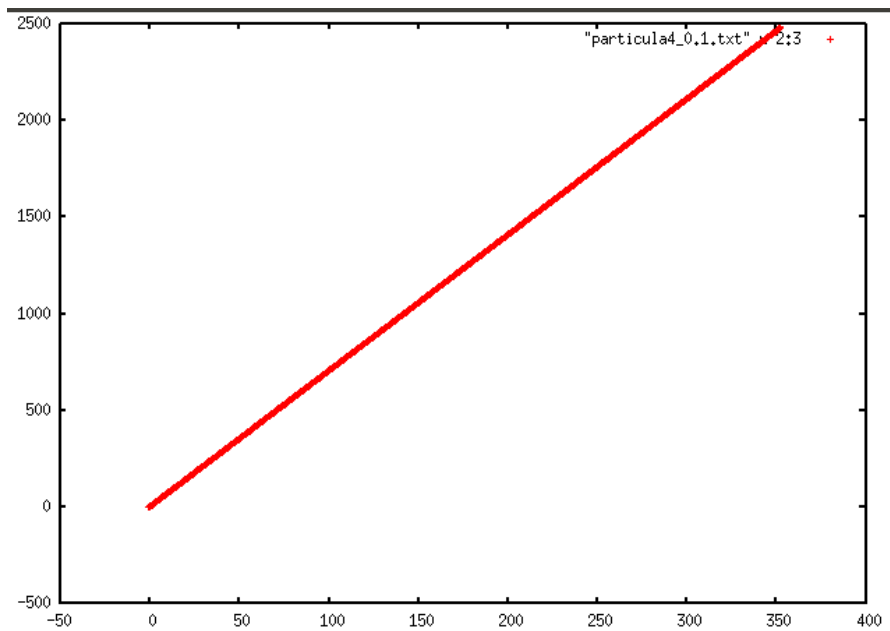
Energia Cinetica y Potencial



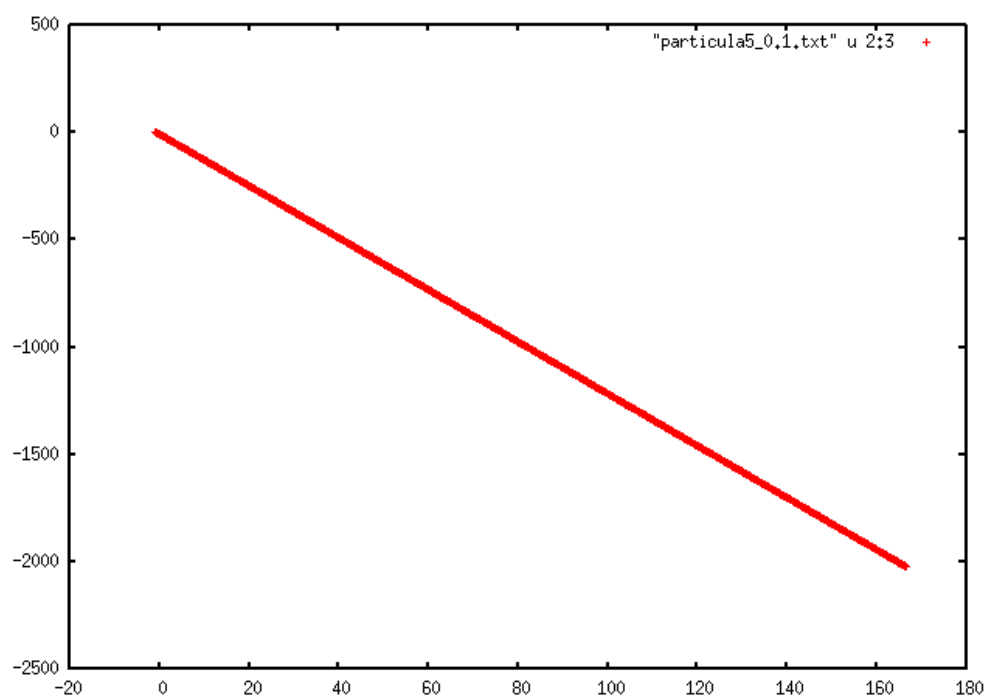
Orbita particula 3



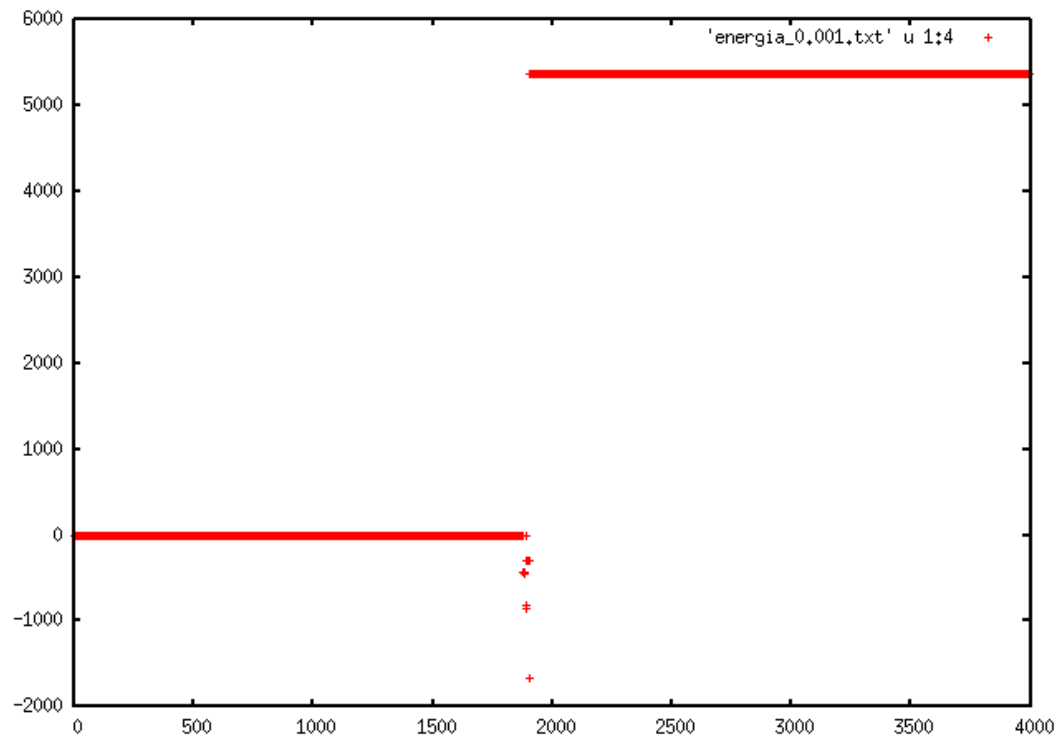
Orbita partícula 4



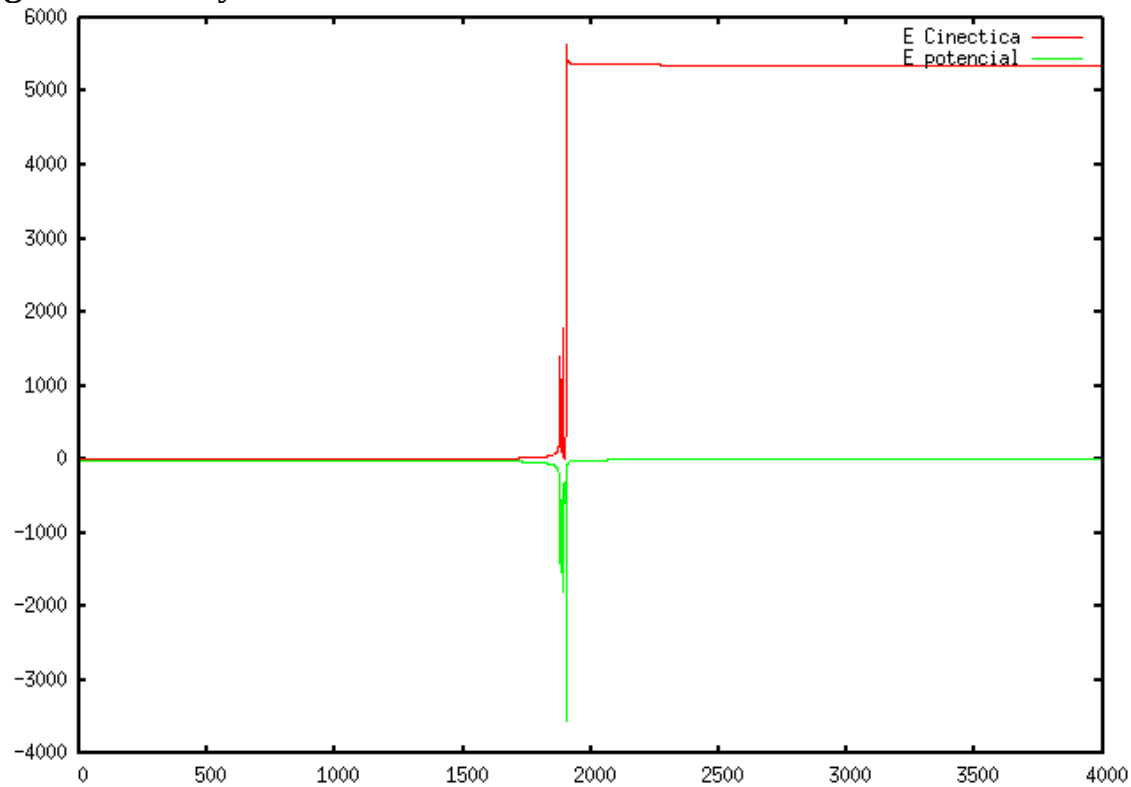
Orbita partícula 5



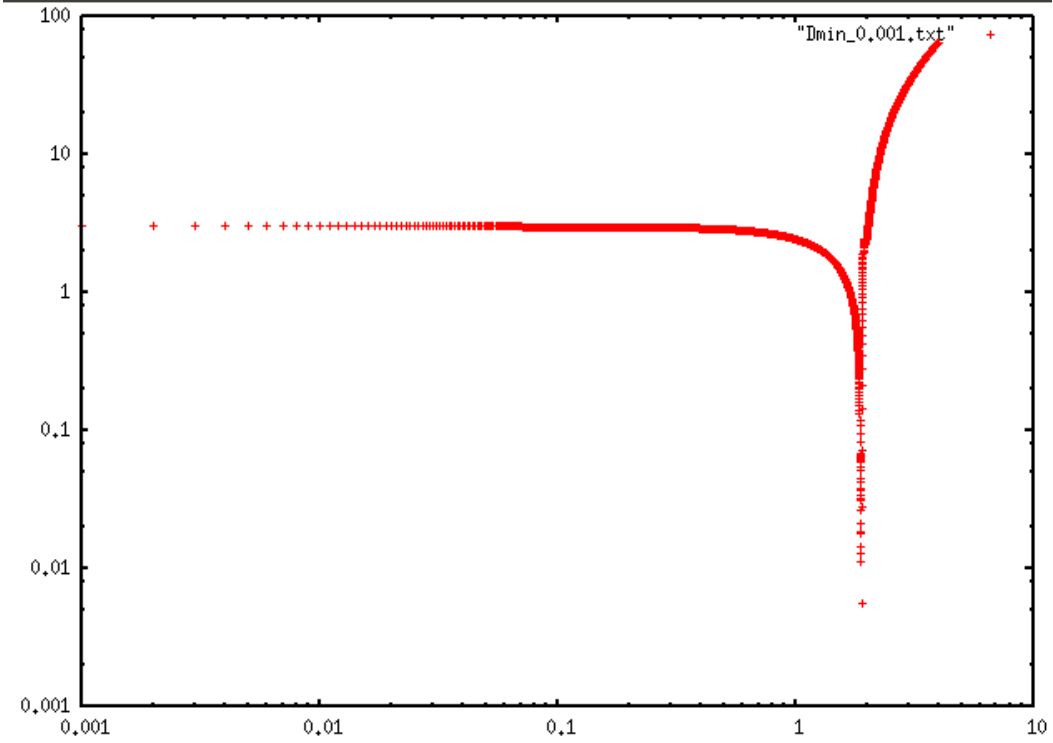
Gráficas para $h=0.001$
Energía Total



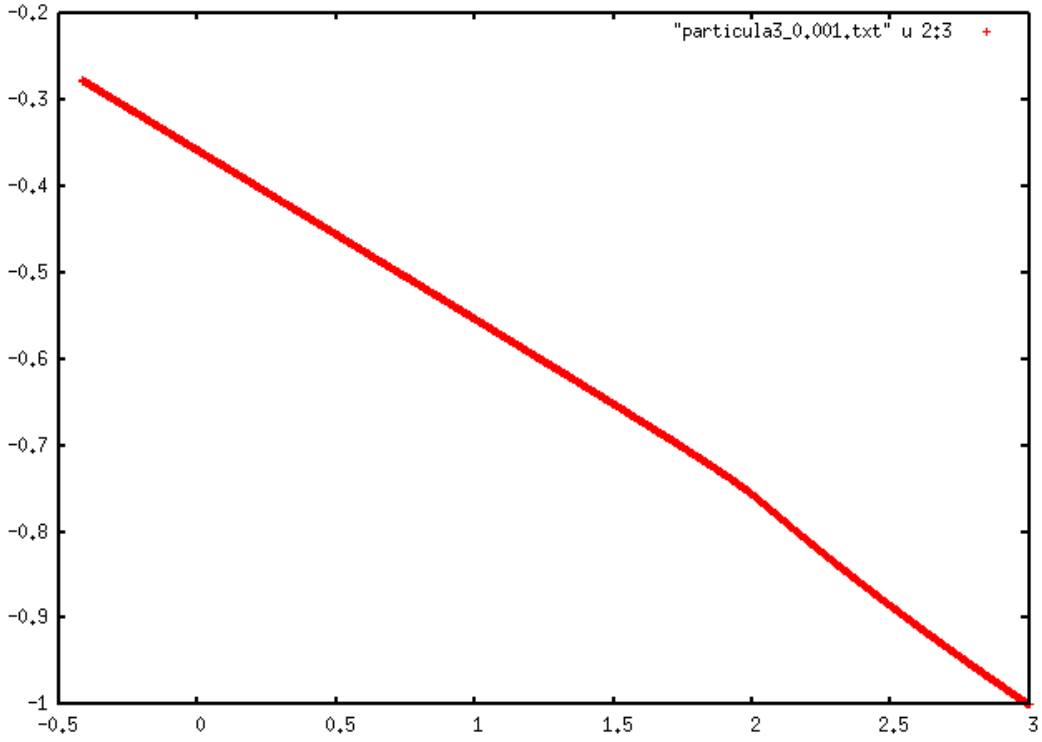
Energía Potencial y Cinética



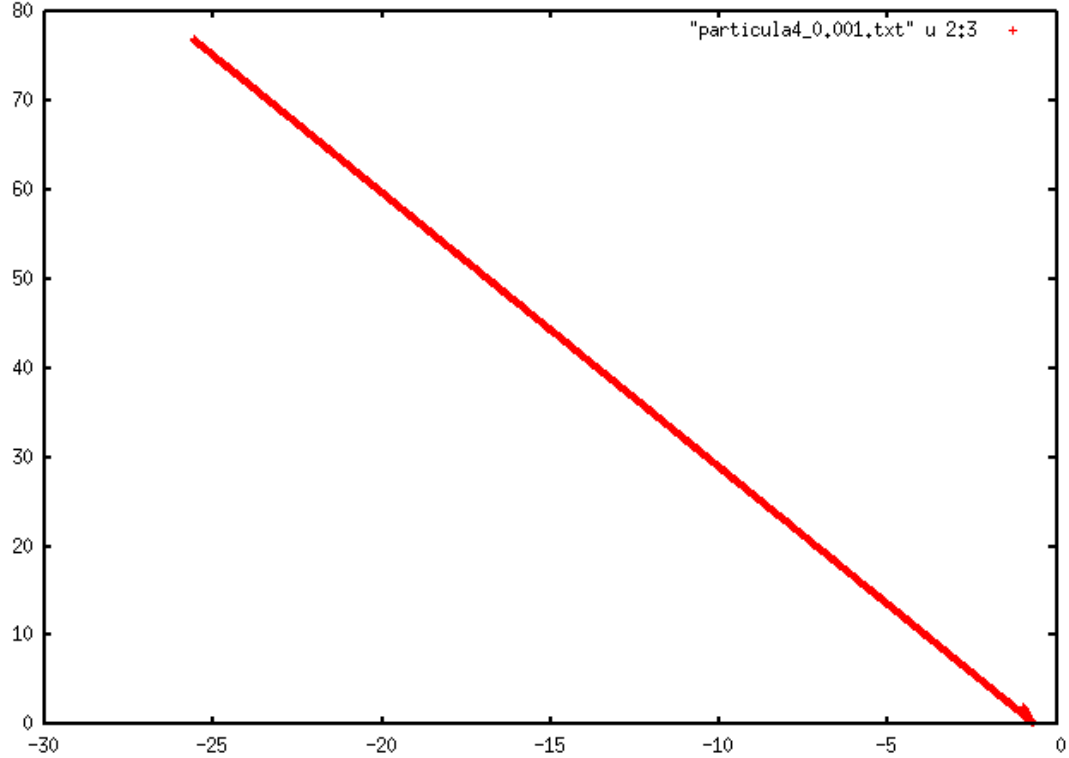
Distancia minima



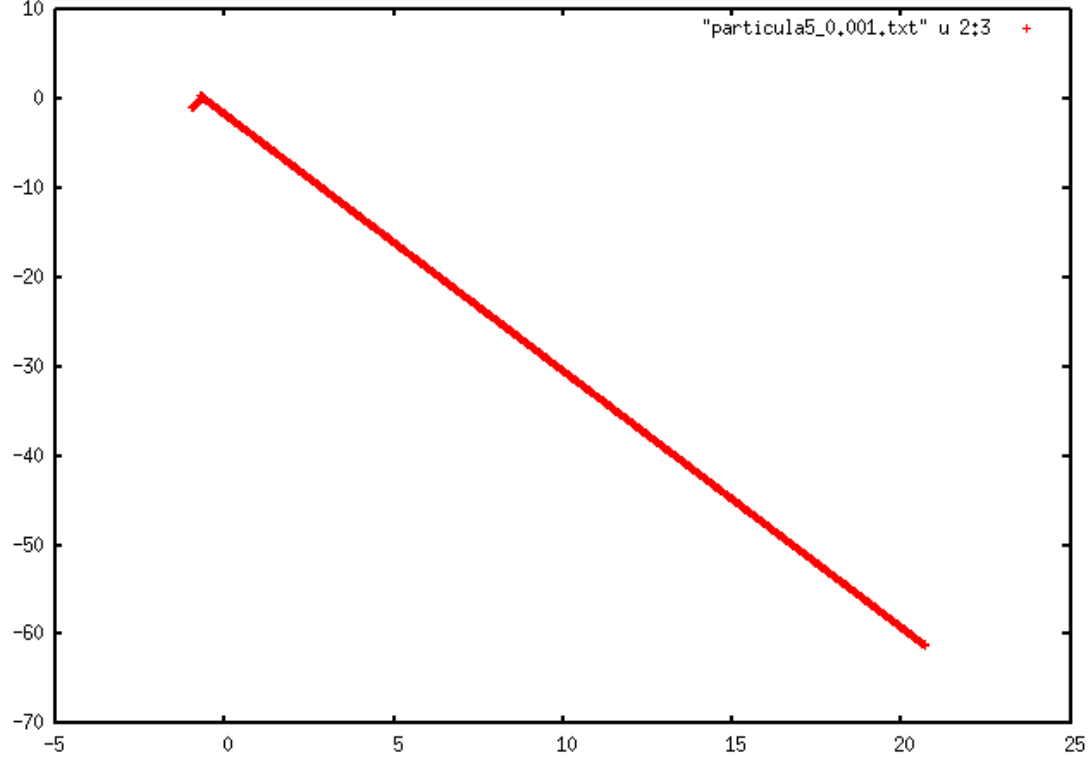
Orbita partícula 3



Orbita partícula 4



Orbita partícula 5



Las gráficas de las orbitas de las partículas parten desde su posición inicial:
para la partícula 3 son $x_0 = 3$, $y_0 = -1$.
para la partícula 4 son $x_0 = -1$, $y_0 = 2$.
para la partícula 5 son $x_0 = -1$, $y_0 = -1$.

Se observa que según se va variando el paso de tiempo, las solución tienden a desestabilizarse más rápido, se observa que en todos los casos la energía se mantiene y conserva después de cierto tiempo (el cual ya denota que se han dispersado y posiblemente su interacción sea mínima, por lo cual la energía se mantiene).
La distancia mínima, tiene a dispersarse luego de cierto tiempo.
La solución nos muestra que el sistema es inestable luego de cierto tiempo, aún con las condiciones dadas.

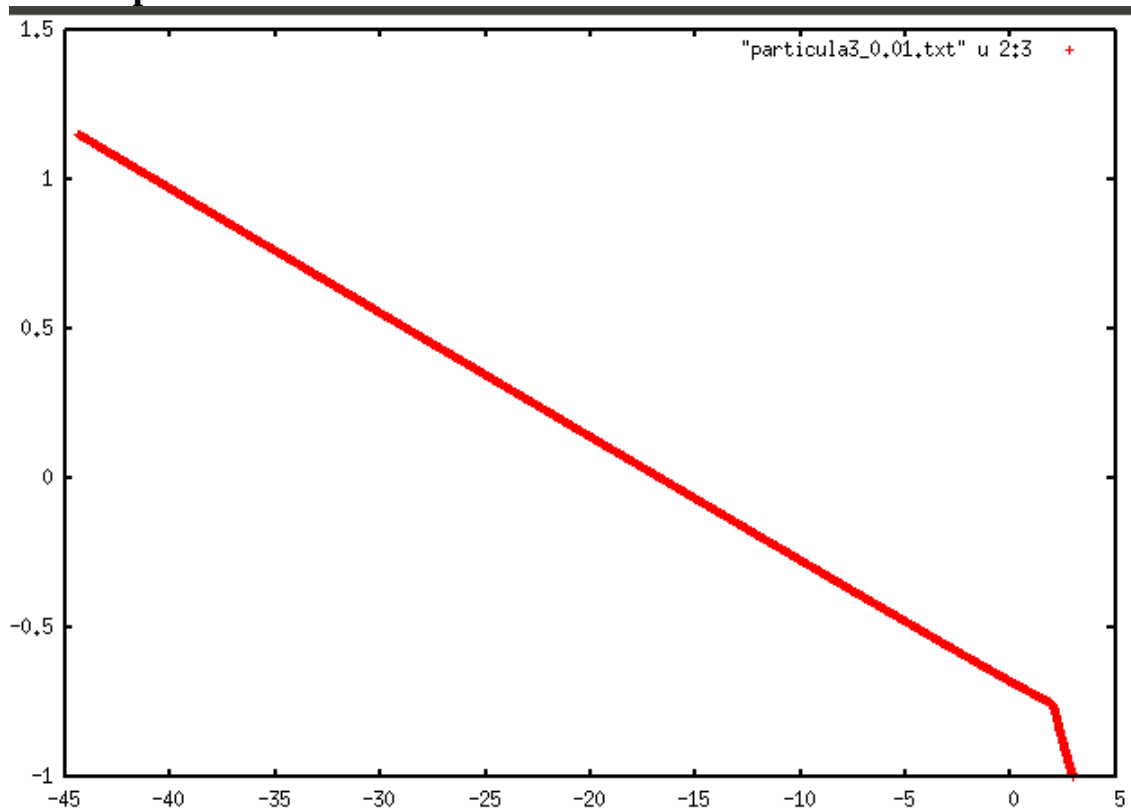
* Considere el caso de que el cuerpo $m = 5$ tenga una velocidad inicial de $|v_3| = 0.1$, en dirección a la masa $m = 4$. Grafique las orbitas para $h = 0.01$ y $h = 0.001$

Sol:

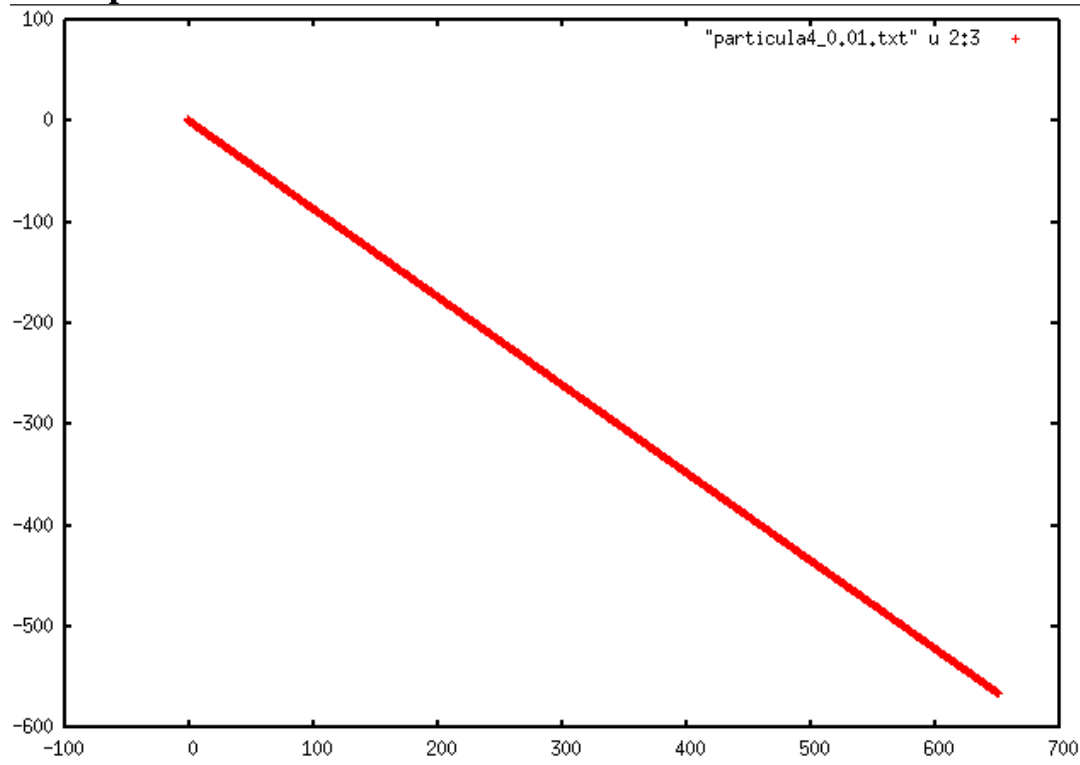
Como se sabe, la masa 4 esta en $(-1,2)$ y la masa 5 esta en $(-1,-1)$, como la velocidad inicial de m_5 es $|v_3| = 0.1$ en dirección de m_4 , entonces $v = 0 i + 0.1 j$

Gráfica para $h = 0.01$

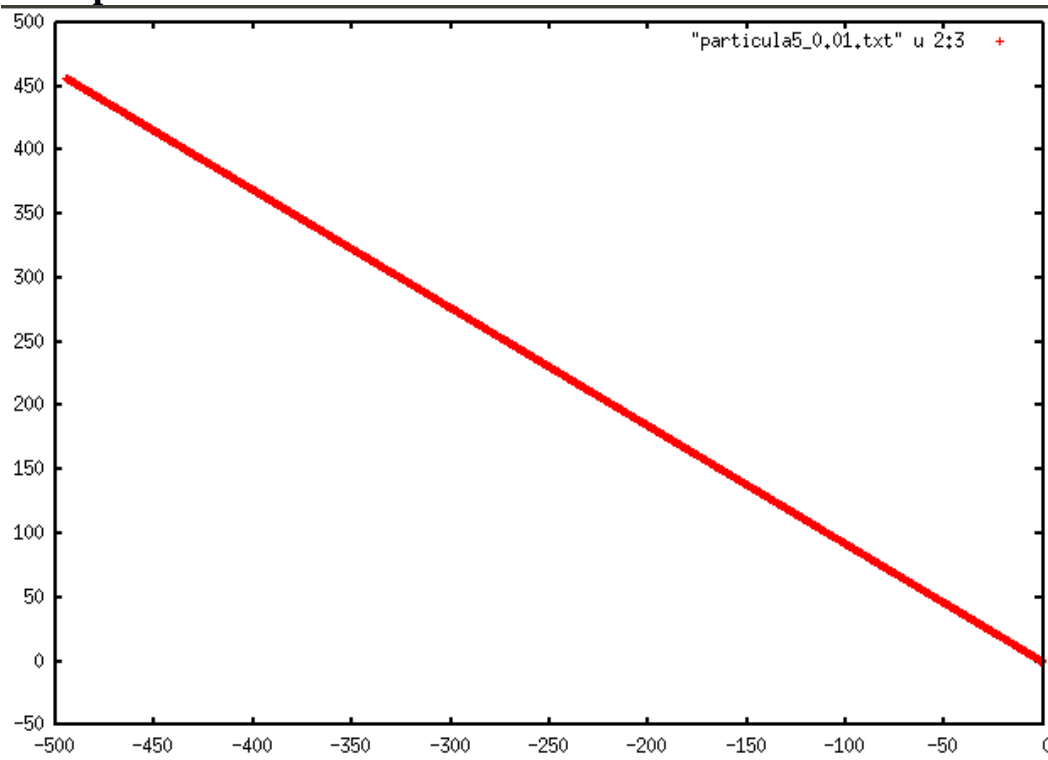
Orbita de la partícula 3



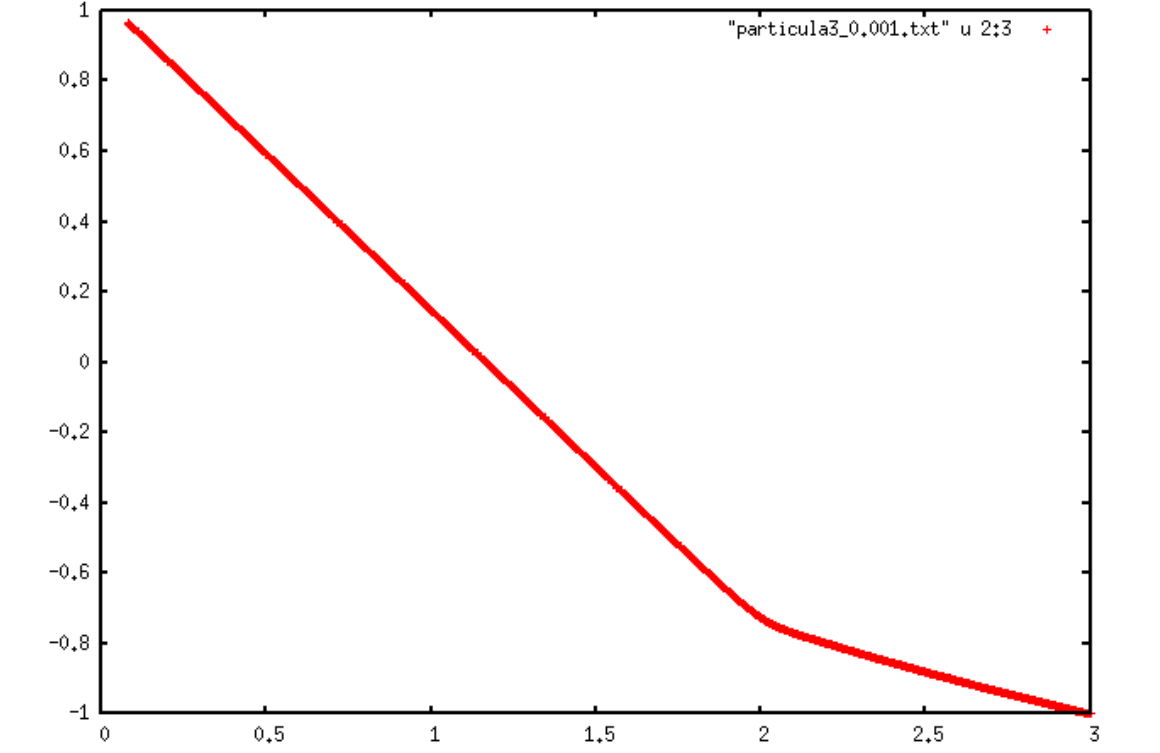
Orbita de la partícula 4



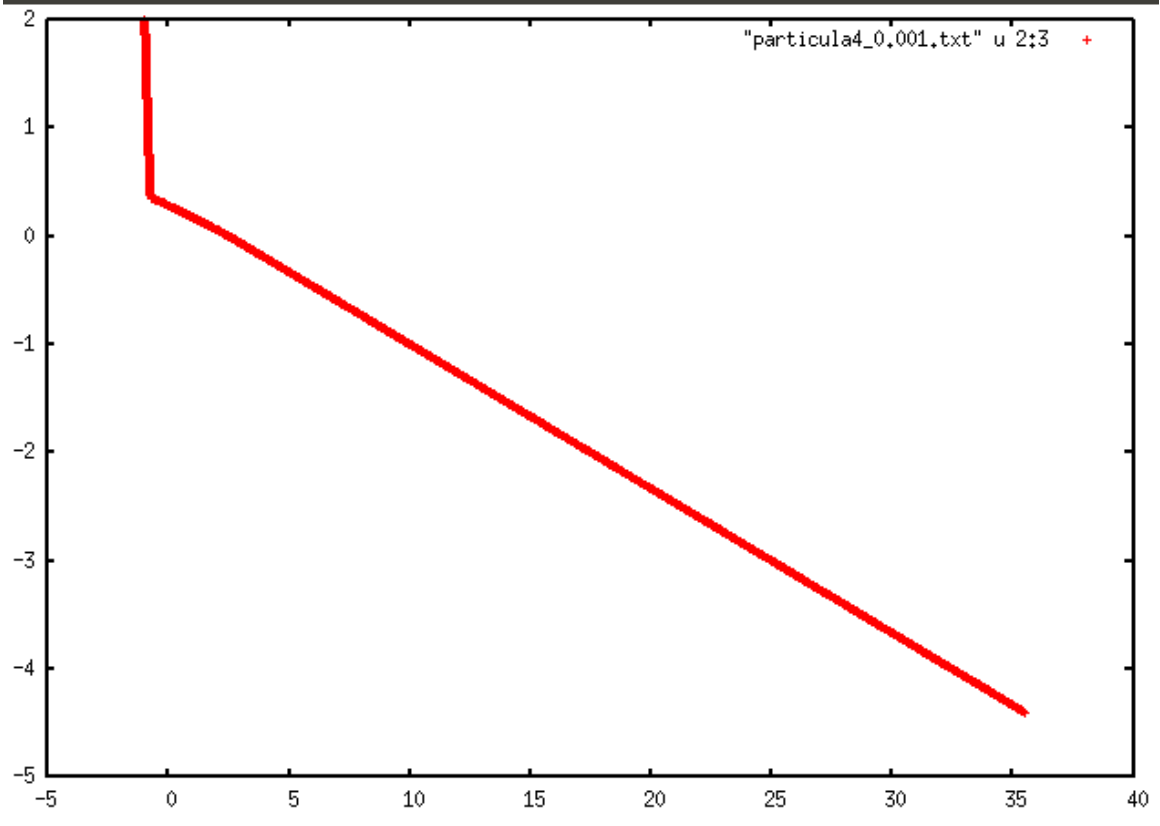
Orbita de la partícula 5



Gráfica para $h=0.001$
Orbita de la partícula 3



Orbita de la partícula 4



Orbita de la partícula 5

